

ГАМИЛЬТОНОВ ФОРМАЛИЗМ ДЛЯ БОЗЕ-ВОЗБУЖДЕНИЙ В ПЛАЗМЕ С НЕАБЕЛЕВЫМ ТИПОМ ВЗАИМОДЕЙСТВИЯ

Ю. А. Марков^{a,d}, М. А. Маркова^{a**}, Н. Ю. Марков^b, Д. М. Гитман^{c,d,e***}*

^a Институт динамики систем и теории управления им. В. М. Матросова
Сибирского отделения Российской академии наук
664033, Иркутск, Россия

^b Иркутский государственный университет
664003, Иркутск, Россия

^c Физический институт им. П. Н. Лебедева Российской академии наук
119991, Москва, Россия

^d Томский государственный университет
634050, Томск, Россия

^e Институт физики университета Сан-Паулу
05508-090, Сан-Паулу, Бразилия

Поступила в редакцию 17 июня 2019 г.,

после переработки 19 августа 2019 г.

Принята к публикации 28 августа 2019 г.

Построена гамильтонова теория для коллективных продольно-поляризованных бесцветных возбуждений (плазмонов) в высокотемпературной глюонной плазме. Применяется общий формализм построения теории волн в нелинейных средах с дисперсией, развитый В. Е. Захаровым. В рамках данного подхода получено в явном виде специальное каноническое преобразование, позволяющее упростить гамильтониан взаимодействия мягких глюонных возбуждений и тем самым определить новый эффективный гамильтониан. Развитый подход использован для построения кинетического уравнения больцмановского типа, которое описывает процесс упругого рассеяния коллективных продольно-поляризованных возбуждений в глюонной плазме и эффект так называемого нелинейного затухания Ландау. Проведено детальное сравнение эффективной амплитуды плазмон-плазмонного взаимодействия, найденной в рамках классической гамильтоновой теории, и соответствующего матричного элемента, вычисленного в рамках высокотемпературной квантовой хромодинамики, что позволило определить границы справедливости чисто классического подхода, представленного в работе.

DOI: 10.31857/S004445102002011X

1. ВВЕДЕНИЕ

В теории обычной электрон-ионной плазмы было показано, что слабая турбулентность плазмы может быть двух типов (см., например, [1]). Слабая турбулентность первого типа обусловлена процессами рассеяния волн на частицах плазмы. Слабая турбулентность второго типа обусловлена процессами распада, слияния и рассеяния волн друг на друге,

происходящими без обмена энергией между частицами и волнами. В ряде работ [2–7] были построены и детально исследованы кинетические уравнения для наиболее простых коллективных возбуждений (ленгмюровских плазмонов) электрон-ионной плазмы, описывающие процессы упругого рассеяния плазмонов друг на друге.

В настоящее время проявляется определенный интерес к построению кинетического описания нового фундаментального состояния материи: кварк-глюонной плазмы — плазмы, состоящей из асимптотически свободных夸克ов, антикварков и глюонов (см., например, обзор [8]), которая, возможно, образуется при столкновении ультра-

* E-mail: markov@icc.ru

** E-mail: markova@icc.ru

*** E-mail: dmitrygitman@hotmail.com

релятивистских тяжелых ядер. Показано, что в пределе больших температур кварк-глюонная плазма хорошо описывается эффективной пертурбативной теорией [9], переформулированной на языке кинетических уравнений [10]. Глюонная плазма (для простоты в данной работе будем пренебречь существованием кварков и антискварков) может быть представлена в виде двух подсистем: подсистемы жестких термальных глюонов и подсистемы мягких плазменных возбуждений, которые обмениваются энергией между собой. В высокотемпературной глюонной плазме, так же как и в обычной электрон-ионной, существует два типа коллективных плазменных возбуждений: поперечно-поляризованные и продольно-поляризованные (плазмоны). В отсутствие внешних хромомагнитного или хромоэлектрического полей цветовая матрица плотности числа коллективных глюонных возбуждений является диагональной, и поэтому данные возбуждения следует трактовать как бесцветные.

В работе [11] развито кинетическое описание процессов нелинейного взаимодействия бесцветных и цветных плазмонов в рамках приближения жестких температурных петель [9, 10]. Основой этого подхода является вычисление некоторых эффективных токов, порождающих эти процессы. С помощью данных токов далее определяются матричные элементы процессов нелинейного взаимодействия произвольного (четного) числа бесцветных плазмонов. В данной работе представлен альтернативный путь кинетического описания нелинейной динамики плазмонов, основанный на классическом гамильтоновом формализме для систем с распределенными параметрами, систематически развитый в работах Захарова [5–7], Гитмана и Тютина [12]. Основой этого подхода в нашем случае является то, что уравнения, описывающие бесстолкновительную высокотемпературную плазму в приближении жестких температурных петель, обладают гамильтоновой структурой, которая была найдена в работах [13–15]. Последнее обстоятельство позволяет нам развить (по крайней мере, для слабо-возбужденных состояний, см. Заключение) независимый подход к выводу кинетического уравнения для мягких продольно-поляризованных глюонных плазменных возбуждений. В рамках гамильтонова подхода матричные элементы плазмон-плазмонного взаимодействия получаются в результате специальных канонических преобразований, упрощающих гамильтониан взаимодействия плазмонов.

Статья имеет следующую структуру. В разд. 2 приведен вывод оператора эффективного гамильтониана четвертого порядка \tilde{H}_4 , описывающего процесс упругого рассеяния двух бесцветных плазмонов друг на друге. В разд. 3 введена в рассмотрение функция распределения плазмонов $N_{\mathbf{k}}^l$ и дан анализ корреляционных функций четвертого и шестого порядков по операторам рождения и уничтожения плазмонов $\hat{c}_{\mathbf{k}}^{\dagger b}$ и $\hat{c}_{\mathbf{k}}^a$. Раздел 4 посвящен выводу кинетического уравнения для мягких глюонных возбуждений большемановского типа с учетом эффекта нелинейного затухания Ландау плазмонов. Разделы 5 и 6 связаны с определением явного вида трехплазменных и четырехплазменной вершинных функций в рамках приближения жестких температурных петель и аппроксимации эффективного глюонного пропагатора в плазмонном полюсе. В заключительном разд. 7 намечены возможные пути обобщения гамильтонова описания на случай сильно возбужденной глюонной плазмы.

В Приложении приведены все основные выражения для эффективных глюонных вершинных функций и глюонного пропагатора в высокотемпературном приближении жестких температурных петель.

2. ГАМИЛЬТОНИАН ВЗАИМОДЕЙСТВИЯ БЕСЦВЕТНЫХ ПЛАЗМОНОВ

Рассмотрим далее приложение общей теории В. Е. Захарова к конкретной системе — высокотемпературной глюонной плазме в квазиклассическом приближении. Потенциалы калибровочного поля, которые описывают глюонное поле в системе, являются $N_c \times N_c$ -матрицами в цветовом пространстве и определены посредством $A_\mu(x) = A_\mu^a(x) t^a$ с $N_c^2 - 1$ эрмитовыми генераторами t^a цветовой группы $SU(N_c)$ в фундаментальном представлении¹⁾. Тензор напряженности $F_{\mu\nu}(x) = F_{\mu\nu}^a(x) t^a$, где

$$F_{\mu\nu}^a(x) = \partial_\mu A_\nu^a - \partial_\nu A_\mu^a + g f^{abc} A_\mu^b A_\nu^c,$$

подчиняется уравнению Янга – Миллса в A_0 -калибровке:

$$\begin{aligned} \partial_\mu F^{\mu\nu}(x) - ig[A_\mu(x), F^{\mu\nu}(x)] - \xi_0^{-1} n_\mu n^\nu A_\nu(x) = \\ = -j^\nu(x), \end{aligned}$$

¹⁾ Цветовой индекс a пробегает значения $1, 2, \dots, N_c^2 - 1$, в то время как векторный индекс μ пробегает значения $0, 1, 2, 3$. Всюду в тексте статьи по дважды повторяющимся индексам подразумевается суммирование и используется система единиц, в которой $\hbar = c = 1$.

где ξ_0 — калибровочный параметр в данной калибровке. 4-вектор n_μ будем далее отождествлять с глобальной 4-скоростью u_μ плазмы. Цветной ток j^ν определяется обычным образом:

$$j^\nu(x) = g t^a \int d^4 p p^\nu \text{Tr}(T^a f_g(x, p)).$$

Здесь $x = (t, \mathbf{x})$ — пространственно-временная переменная исходной динамической системы, $(T^a)^{bc} \equiv -if^{abc}$ — цветовая матрица в присоединенном представлении. Функция распределения глюонов $f_g = f_g(x, p)$ является $(N_c^2 - 1) \times (N_c^2 - 1)$ -эрмитовой матрицей в цветовом пространстве.

Как известно, в равновесной горячей кварк-глюонной плазме существуют два типа физических бозонных мягких полей: поперечно-поляризованное и продольно-поляризованное [8]. Для простоты ограничим свое рассмотрение только процессами с участием продольно-поляризованных плазменных возбуждений, которые носят название плазмонов. Эти возбуждения являются истинно колективным эффектом среды, не имеющим аналогов в обычной квантовой теории поля. Рассмотрим продольную часть потенциала калибровочного поля в виде разложения

$$\hat{A}_\mu^a(x) = \int \frac{d\mathbf{k}}{(2\pi)^3} \left(\frac{Z^l(\mathbf{k})}{2\omega_{\mathbf{k}}^l} \right)^{1/2} \times \\ \times \left\{ \epsilon_\mu^l \hat{a}_{\mathbf{k}}^a e^{-i\mathbf{k}\cdot\mathbf{x}} + \epsilon_\mu^{*l} \hat{a}_{\mathbf{k}}^{\dagger a} e^{i\mathbf{k}\cdot\mathbf{x}} \right\}, \quad k_0 = \omega_{\mathbf{k}}^l, \quad (2.1)$$

где $\epsilon_\mu^l = \epsilon_\mu^l(\mathbf{k})$ — вектор поляризации продольного плазмона, явный вид которого зависит от выбора калибровки (в частности, при A_0 -калибровке данный вектор определяется выражением (5.6)). Множитель $Z^l(\mathbf{k})$ есть вычет эффективного глюонного пропагатора в плазмонном полюсе. Коэффициенты $\hat{a}_{\mathbf{k}}^a$ и $\hat{a}_{\mathbf{k}}^{\dagger a}$ будем рассматривать как квазичастичные операторы уничтожения и рождения плазмонов, подчиняющиеся коммутационным соотношениям бозе-операторов

$$\begin{aligned} [\hat{a}_{\mathbf{k}}^a, \hat{a}_{\mathbf{k}'}^b] &= [\hat{a}_{\mathbf{k}}^{\dagger a}, \hat{a}_{\mathbf{k}'}^{\dagger b}] = 0, \\ [\hat{a}_{\mathbf{k}}^a, \hat{a}_{\mathbf{k}'}^{\dagger b}] &= \delta^{ab} (2\pi)^3 \delta(\mathbf{k} - \mathbf{k}'). \end{aligned} \quad (2.2)$$

Многоплазмовые состояния получаются многочленным действием оператора $\hat{a}_{\mathbf{k}}^{\dagger a}$ на вакуумное состояние $|0\rangle$, которое подчиняется следующему условию:

$$\hat{a}_{\mathbf{k}}^a |0\rangle = 0.$$

Таким образом, под вакуумом понимается основное, невозбужденное состояние системы, т. е. состояние,

не имеющее элементарных коллективных возбуждений. У операторов $\hat{a}_{\mathbf{k}}^a$ и $\hat{a}_{\mathbf{k}}^{\dagger a}$ отличны от нуля лишь матричные элементы, соответствующие изменению на единицу числа плазмонов.

Запишем квантовомеханический аналог уравнения Гамильтона, а именно, уравнение Гейзенберга для оператора $\hat{a}_{\mathbf{k}}^a$:

$$\frac{\partial \hat{a}_{\mathbf{k}}^a}{\partial t} = i [\hat{H}, \hat{a}_{\mathbf{k}}^a]. \quad (2.3)$$

Здесь \hat{H} — гамильтониан системы плазмонов, равный сумме $\hat{H} = \hat{H}_0 + \hat{H}_{int}$, где

$$\hat{H}_0 = \int \frac{d\mathbf{k}}{(2\pi)^3} \omega_{\mathbf{k}}^l \hat{a}_{\mathbf{k}}^{\dagger a} \hat{a}_{\mathbf{k}}^a \quad (2.4)$$

— гамильтониан невзаимодействующих плазмонов, \hat{H}_{int} — гамильтониан взаимодействия. Дисперсионное соотношение для плазмонов $\omega_{\mathbf{k}}^l$ удовлетворяет следующему дисперсионному уравнению [16]:

$$\text{Re } \varepsilon^l(\omega, \mathbf{k}) = 0, \quad (2.5)$$

где

$$\begin{aligned} \varepsilon^l(\omega, \mathbf{k}) &= 1 + \frac{3\omega_{pl}^2}{\mathbf{k}^2} \left[1 - F\left(\frac{\omega}{|\mathbf{k}|^2}\right) \right], \\ F(x) &= \frac{x}{2} \left[\ln \left| \frac{1+x}{1-x} \right| - i\pi\theta(1-|x|) \right] \end{aligned}$$

— продольная диэлектрическая проницаемость и $\omega_{pl}^2 = g^2 N_c T^2 / 9$, T — температура системы, g — постоянная сильного взаимодействия. В приближении малых амплитуд гамильтониан взаимодействия можно представить в виде формального интегростепенного ряда по $\hat{a}_{\mathbf{k}}^a$ и $\hat{a}_{\mathbf{k}}^{\dagger a}$:

$$\hat{H}_{int} = \hat{H}_3 + \hat{H}_4 + \dots,$$

где гамильтонианы взаимодействия третьего и четвертого порядков имеют следующую структуру:

$$\begin{aligned} \hat{H}_3 &= \int \frac{d\mathbf{k} d\mathbf{k}_1 d\mathbf{k}_2}{(2\pi)^9} \left\{ V_{\mathbf{k}, \mathbf{k}_1, \mathbf{k}_2}^{a a_1 a_2} \hat{a}_{\mathbf{k}}^{\dagger a} \hat{a}_{\mathbf{k}_1}^{a_1} \hat{a}_{\mathbf{k}_2}^{a_2} + \right. \\ &\quad \left. + V_{\mathbf{k}, \mathbf{k}_1, \mathbf{k}_2}^{*a a_1 a_2} \hat{a}_{\mathbf{k}_1}^{\dagger a_1} \hat{a}_{\mathbf{k}_2}^{\dagger a_2} \hat{a}_{\mathbf{k}}^a \right\} (2\pi)^3 \delta(\mathbf{k} - \mathbf{k}_1 - \mathbf{k}_2) + \\ &\quad + \frac{1}{3} \int \frac{d\mathbf{k} d\mathbf{k}_1 d\mathbf{k}_2}{(2\pi)^9} \left\{ U_{\mathbf{k}, \mathbf{k}_1, \mathbf{k}_2}^{a a_1 a_2} \hat{a}_{\mathbf{k}}^a \hat{a}_{\mathbf{k}_1}^{a_1} \hat{a}_{\mathbf{k}_2}^{a_2} + \right. \\ &\quad \left. + U_{\mathbf{k}, \mathbf{k}_1, \mathbf{k}_2}^{*a a_1 a_2} \hat{a}_{\mathbf{k}}^{\dagger a} \hat{a}_{\mathbf{k}_1}^{\dagger a_1} \hat{a}_{\mathbf{k}_2}^{\dagger a_2} \right\} (2\pi)^3 \delta(\mathbf{k} + \mathbf{k}_1 + \mathbf{k}_2), \quad (2.6) \end{aligned}$$

$$\begin{aligned} \hat{H}_4 &= \frac{1}{2} \int \frac{d\mathbf{k} d\mathbf{k}_1 d\mathbf{k}_2 d\mathbf{k}_3}{(2\pi)^{12}} T_{\mathbf{k}, \mathbf{k}_1, \mathbf{k}_2, \mathbf{k}_3}^{a a_1 a_2 a_3} \hat{a}_{\mathbf{k}}^{\dagger a} \hat{a}_{\mathbf{k}_1}^{a_1} \times \\ &\quad \times \hat{a}_{\mathbf{k}_2}^{a_2} \hat{a}_{\mathbf{k}_3}^{a_3} (2\pi)^3 \delta(\mathbf{k} + \mathbf{k}_1 - \mathbf{k}_2 - \mathbf{k}_3) \quad (2.7) \end{aligned}$$

и т.д. Под символом «*» понимается комплексное сопряжение. В выражении (2.7) мы оставили лишь «существенный» по терминологии В. Е. Захарова вклад, в силу того что резонансные условия

$$\begin{cases} \mathbf{k} + \mathbf{k}_1 + \mathbf{k}_2 + \mathbf{k}_3 = 0, \\ \omega_{\mathbf{k}}^l + \omega_{\mathbf{k}_1}^l + \omega_{\mathbf{k}_2}^l + \omega_{\mathbf{k}_3}^l = 0, \\ \mathbf{k} = \mathbf{k}_1 + \mathbf{k}_2 + \mathbf{k}_3, \\ \omega_{\mathbf{k}}^l = \omega_{\mathbf{k}_1}^l + \omega_{\mathbf{k}_2}^l + \omega_{\mathbf{k}_3}^l \end{cases}$$

не имеют решений для спектра плазмонов, определяемого дисперсионным уравнением (2.5).

Отметим, что подобного рода представление гамильтониана взаимодействия в виде формальных бесконечных рядов по степеням операторов рождения и уничтожения рассматривались в книге Шварца [17] в рамках квантовой теории поля для скалярных полей.

Коэффициенты $V_{\mathbf{k}, \mathbf{k}_1, \mathbf{k}_2}^{a a_1 a_2}$, $U_{\mathbf{k}, \mathbf{k}_1, \mathbf{k}_2}^{a a_1 a_2}$ и $T_{\mathbf{k}, \mathbf{k}_1, \mathbf{k}_2, \mathbf{k}_3}^{a a_1 a_2 a_3}$ обладают определенной симметрией

$$\begin{aligned} V_{\mathbf{k}, \mathbf{k}_1, \mathbf{k}_2}^{a a_1 a_2} &= V_{\mathbf{k}, \mathbf{k}_2, \mathbf{k}_1}^{a a_2 a_1}, \\ U_{\mathbf{k}, \mathbf{k}_1, \mathbf{k}_2}^{a a_1 a_2} &= U_{\mathbf{k}, \mathbf{k}_2, \mathbf{k}_1}^{a a_2 a_1} = U_{\mathbf{k}_1, \mathbf{k}_2, \mathbf{k}}^{a_1 a_2 a}, \end{aligned} \quad (2.8)$$

$$\begin{aligned} T_{\mathbf{k}, \mathbf{k}_1, \mathbf{k}_2, \mathbf{k}_3}^{a a_1 a_2 a_3} &= T_{\mathbf{k}_1, \mathbf{k}, \mathbf{k}_2, \mathbf{k}_3}^{a_1 a_2 a_3} = T_{\mathbf{k}, \mathbf{k}_1, \mathbf{k}_3, \mathbf{k}_2}^{a a_1 a_3 a_2} = \\ &= T_{\mathbf{k}_2, \mathbf{k}_3, \mathbf{k}, \mathbf{k}_1}^{a_2 a_3 a_1}. \end{aligned} \quad (2.9)$$

Эти коэффициентные функции определяют конкретные свойства среды, в данном случае высокотемпературной глюонной плазмы.

Рассмотрим преобразование от операторов $\hat{a}_{\mathbf{k}}^a$ к новым операторам $\hat{c}_{\mathbf{k}}^a$:

$$\begin{aligned} \hat{a}_{\mathbf{k}}^a &= \hat{c}_{\mathbf{k}}^a + \int \frac{d\mathbf{k}_1 d\mathbf{k}_2}{(2\pi)^6} \left[V_{\mathbf{k}, \mathbf{k}_1, \mathbf{k}_2}^{(1) a a_1 a_2} \hat{c}_{\mathbf{k}_1}^{a_1} \hat{c}_{\mathbf{k}_2}^{a_2} + \right. \\ &+ V_{\mathbf{k}, \mathbf{k}_1, \mathbf{k}_2}^{(2) a a_1 a_2} \hat{c}_{\mathbf{k}_2}^{\dagger a_2} \hat{c}_{\mathbf{k}_1}^{a_1} + V_{\mathbf{k}, \mathbf{k}_1, \mathbf{k}_2}^{(3) a a_1 a_2} \hat{c}_{\mathbf{k}_1}^{\dagger a_1} \hat{c}_{\mathbf{k}_2}^{\dagger a_2} \left. \right] + \\ &+ \int \frac{d\mathbf{k}_1 d\mathbf{k}_2 d\mathbf{k}_3}{(2\pi)^9} \left[W_{\mathbf{k}, \mathbf{k}_1, \mathbf{k}_2, \mathbf{k}_3}^{(1) a a_1 a_2 a_3} \hat{c}_{\mathbf{k}_1}^{a_1} \hat{c}_{\mathbf{k}_2}^{a_2} \hat{c}_{\mathbf{k}_3}^{a_3} + \dots \right. \\ &\dots + W_{\mathbf{k}, \mathbf{k}_1, \mathbf{k}_2, \mathbf{k}_3}^{(4) a a_1 a_2 a_3} \hat{c}_{\mathbf{k}_1}^{\dagger a_1} \hat{c}_{\mathbf{k}_2}^{\dagger a_2} \hat{c}_{\mathbf{k}_3}^{\dagger a_3} \left. \right] + \dots \quad (2.10) \end{aligned}$$

Условия каноничности данного преобразования²⁾

$$\begin{aligned} \int d\mathbf{k}' \left\{ \frac{\delta \hat{a}_{\mathbf{k}}^a}{\delta \hat{c}_{\mathbf{k}'}^c} \frac{\delta \hat{a}_{\mathbf{k}''}^b}{\delta \hat{c}_{\mathbf{k}'}^{\dagger c}} - \frac{\delta \hat{a}_{\mathbf{k}}^a}{\delta \hat{c}_{\mathbf{k}'}^{\dagger c}} \frac{\delta \hat{a}_{\mathbf{k}''}^b}{\delta \hat{c}_{\mathbf{k}'}^c} \right\} &= 0, \\ \int d\mathbf{k}' \left\{ \frac{\delta \hat{a}_{\mathbf{k}}^a}{\delta \hat{c}_{\mathbf{k}'}^c} \frac{\delta \hat{a}_{\mathbf{k}''}^{\dagger b}}{\delta \hat{c}_{\mathbf{k}'}^{\dagger c}} - \frac{\delta \hat{a}_{\mathbf{k}}^a}{\delta \hat{c}_{\mathbf{k}'}^{\dagger c}} \frac{\delta \hat{a}_{\mathbf{k}''}^{\dagger b}}{\delta \hat{c}_{\mathbf{k}'}^c} \right\} &= \delta^{ab} \delta(\mathbf{k} - \mathbf{k}'') \end{aligned}$$

налагают определенные ограничения на коэффициентные функции ряда (2.10). Функции $V_{\mathbf{k}, \mathbf{k}_1, \mathbf{k}_2}^{(1) a a_1 a_2}$, $V_{\mathbf{k}, \mathbf{k}_1, \mathbf{k}_2}^{(2) a a_1 a_2}$ и $V_{\mathbf{k}, \mathbf{k}_1, \mathbf{k}_2}^{(3) a a_1 a_2}$ должны удовлетворять условиям

$$V_{\mathbf{k}, \mathbf{k}_1, \mathbf{k}_2}^{(2) a a_1 a_2} = -2V_{\mathbf{k}_1, \mathbf{k}, \mathbf{k}_2}^{*(1) a_1 a_2 a},$$

$$V_{\mathbf{k}, \mathbf{k}_1, \mathbf{k}_2}^{(3) a a_1 a_2} = V_{\mathbf{k}, \mathbf{k}_2, \mathbf{k}_1}^{(3) a a_2 a_1} = V_{\mathbf{k}_1, \mathbf{k}_2, \mathbf{k}}^{(3) a_1 a_2 a},$$

а функции $W_{\mathbf{k}, \mathbf{k}_1, \mathbf{k}_2, \mathbf{k}_3}^{(i)}$, $i = 1, \dots, 4$ — условиям

$$\begin{aligned} 3W_{\mathbf{k}, \mathbf{k}_1, \mathbf{k}_2, \mathbf{k}_3}^{(1) a a_1 a_2 a_3} + 4 \int \left\{ V_{\mathbf{k}_2, \mathbf{k}, \mathbf{k}'}^{*(1) a_2 a a' a'} V_{\mathbf{k}_1, \mathbf{k}_3, \mathbf{k}'}^{*(3) a_1 a_3 a'} - \right. \\ \left. - V_{\mathbf{k}, \mathbf{k}_2, \mathbf{k}'}^{(1) a a_2 a'} V_{\mathbf{k}', \mathbf{k}_1, \mathbf{k}_3}^{(1) a' a_1 a_3} \right\} d\mathbf{k} = -W_{\mathbf{k}_1, \mathbf{k}, \mathbf{k}_2, \mathbf{k}_3}^{*(3) a_1 a_2 a_3}, \end{aligned}$$

$$\begin{aligned} W_{\mathbf{k}, \mathbf{k}_1, \mathbf{k}_2, \mathbf{k}_3}^{(2) a a_1 a_2 a_3} + 2 \int \left\{ V_{\mathbf{k}, \mathbf{k}_1, \mathbf{k}'}^{(1) a_1 a_2 a'} V_{\mathbf{k}_3, \mathbf{k}_2, \mathbf{k}'}^{*(1) a_3 a_1 a'} + \right. \\ + V_{\mathbf{k}', \mathbf{k}, \mathbf{k}_1}^{*(1) a' a a_1} V_{\mathbf{k}', \mathbf{k}_3, \mathbf{k}_2}^{(1) a' a_3 a_2} - V_{\mathbf{k}_1, \mathbf{k}, \mathbf{k}'}^{*(1) a_1 a a' a'} V_{\mathbf{k}', \mathbf{k}_3, \mathbf{k}_2}^{(1) a' a_3 a_2} - \\ \left. - V_{\mathbf{k}_1, \mathbf{k}_3, \mathbf{k}'}^{(3) a_1 a_3 a'} V_{\mathbf{k}', \mathbf{k}, \mathbf{k}_2}^{(3) a_3 a_2 a'} \right\} d\mathbf{k}' = -W_{\mathbf{k}_3, \mathbf{k}_1, \mathbf{k}_2, \mathbf{k}}^{*(2) a_3 a_1 a_2 a}, \end{aligned}$$

$$\begin{aligned} W_{\mathbf{k}, \mathbf{k}_1, \mathbf{k}_2, \mathbf{k}_3}^{(3) a a_1 a_2 a_3} + 2 \int \left\{ V_{\mathbf{k}_3, \mathbf{k}_1, \mathbf{k}'}^{(1) a_3 a_1 a'} V_{\mathbf{k}, \mathbf{k}_2, \mathbf{k}'}^{(3) a a_2 a'} + \right. \\ + V_{\mathbf{k}_1, \mathbf{k}, \mathbf{k}'}^{*(1) a_1 a a' a'} V_{\mathbf{k}', \mathbf{k}_3, \mathbf{k}_2}^{(1) a' a_3 a_2} - \\ - V_{\mathbf{k}_1, \mathbf{k}_3, \mathbf{k}'}^{(1) a_1 a_3 a'} V_{\mathbf{k}', \mathbf{k}, \mathbf{k}_2}^{(1) a' a a_2 a} - \\ \left. - V_{\mathbf{k}, \mathbf{k}_1, \mathbf{k}'}^{(1) a a_1 a'} V_{\mathbf{k}_3, \mathbf{k}_2, \mathbf{k}'}^{(3) a_3 a_2 a'} \right\} d\mathbf{k}' = \\ = W_{\mathbf{k}_3, \mathbf{k}_1, \mathbf{k}_2, \mathbf{k}}^{(3) a_3 a_1 a_2 a}, \end{aligned}$$

$$\begin{aligned} 3W_{\mathbf{k}, \mathbf{k}_1, \mathbf{k}_2, \mathbf{k}_3}^{(4) a a_1 a_2 a_3} + 4 \int \left\{ V_{\mathbf{k}', \mathbf{k}, \mathbf{k}_2}^{*(1) a' a a_2} V_{\mathbf{k}_3, \mathbf{k}_1, \mathbf{k}'}^{(3) a_3 a_1 a'} - \right. \\ \left. - V_{\mathbf{k}', \mathbf{k}_3, \mathbf{k}_1}^{(1) a' a_3 a_1} V_{\mathbf{k}, \mathbf{k}_2, \mathbf{k}'}^{(3) a a_2 a'} \right\} d\mathbf{k}' = 3W_{\mathbf{k}_3, \mathbf{k}_1, \mathbf{k}_2, \mathbf{k}}^{(4) a_3 a_1 a_2 a}. \end{aligned}$$

²⁾ Вариационные производные по операторам $\hat{c}_{\mathbf{k}}^a$ и $\hat{c}_{\mathbf{k}}^{\dagger a}$ следует понимать как пределы соответствующих функциональных производных по аддитивным классическим добавкам $\varphi_{\mathbf{k}}^a$ и $\varphi_{\mathbf{k}}^{* a}$ к квантовым $\hat{c}_{\mathbf{k}}^a$ и $\hat{c}_{\mathbf{k}}^{\dagger a}$ [18]:

$$\hat{c}_{\mathbf{k}}^a \rightarrow \hat{c}_{\mathbf{k}}^a + \varphi_{\mathbf{k}}^a, \quad \hat{c}_{\mathbf{k}}^{\dagger a} \rightarrow \hat{c}_{\mathbf{k}}^{\dagger a} + \varphi_{\mathbf{k}}^{* a}.$$

В силу специфики дисперсионного уравнения (2.5) в горячей глюонной плазме резонансные условия

$$\left\{ \begin{array}{l} \mathbf{k} = \mathbf{k}_1 + \mathbf{k}_2, \\ \omega_{\mathbf{k}}^l = \omega_{\mathbf{k}_1}^l + \omega_{\mathbf{k}_2}^l, \end{array} \right. \quad \left\{ \begin{array}{l} \mathbf{k} + \mathbf{k}_1 + \mathbf{k}_2 = 0, \\ \omega_{\mathbf{k}}^l + \omega_{\mathbf{k}_1}^l + \omega_{\mathbf{k}_2}^l = 0 \end{array} \right. \quad (2.11)$$

не имеют решений, т. е. спектр продольных плазмонов является нераспадным. Тогда каноническое преобразование (2.10) позволяет исключить «несущественный» гамильтониан \widehat{H}_3 (2.6), просто полагая

$$\begin{aligned} V_{\mathbf{k}, \mathbf{k}_1, \mathbf{k}_2}^{(1) a a_1 a_2} &= -\frac{V_{\mathbf{k}, \mathbf{k}_1, \mathbf{k}_2}^{a a_1 a_2}}{\omega_{\mathbf{k}}^l - \omega_{\mathbf{k}_1}^l - \omega_{\mathbf{k}_2}^l} (2\pi)^3 \delta(\mathbf{k} - \mathbf{k}_1 - \mathbf{k}_2), \\ V_{\mathbf{k}, \mathbf{k}_1, \mathbf{k}_2}^{(3) a a_1 a_2} &= -\frac{U_{\mathbf{k}, \mathbf{k}_1, \mathbf{k}_2}^{* a a_1 a_2}}{\omega_{\mathbf{k}}^l + \omega_{\mathbf{k}_1}^l + \omega_{\mathbf{k}_2}^l} (2\pi)^3 \delta(\mathbf{k} + \mathbf{k}_1 + \mathbf{k}_2). \end{aligned}$$

Данная процедура исключения приводит нас к следующей структуре эффективного гамильтониана четвертого порядка \widetilde{H}_4 :

$$\begin{aligned} \widetilde{H}_4 = \frac{1}{2} \int \frac{d\mathbf{k} d\mathbf{k}_1 d\mathbf{k}_2 d\mathbf{k}_3}{(2\pi)^{12}} & \widetilde{T}_{\mathbf{k}, \mathbf{k}_1, \mathbf{k}_2, \mathbf{k}_3}^{a a_1 a_2 a_3} \hat{c}_{\mathbf{k}}^{\dagger a} \times \\ & \times \hat{c}_{\mathbf{k}_1}^{a_1} \hat{c}_{\mathbf{k}_2}^{a_2} \hat{c}_{\mathbf{k}_3}^{a_3} (2\pi)^3 \delta(\mathbf{k} + \mathbf{k}_1 - \mathbf{k}_2 - \mathbf{k}_3), \end{aligned} \quad (2.12)$$

где

$$\begin{aligned} \widetilde{T}_{\mathbf{k}, \mathbf{k}_1, \mathbf{k}_2, \mathbf{k}_3}^{a a_1 a_2 a_3} &= T_{\mathbf{k}, \mathbf{k}_1, \mathbf{k}_2, \mathbf{k}_3}^{a a_1 a_2 a_3} - \\ &- 2 \frac{U_{-(\mathbf{k}_2+\mathbf{k}_3), \mathbf{k}_2, \mathbf{k}_3}^{b a_2 a_3} U_{-(\mathbf{k}+\mathbf{k}_1), \mathbf{k}, \mathbf{k}_1}^{* b a a_1}}{\omega_{-(\mathbf{k}+\mathbf{k}_1)}^l + \omega_{\mathbf{k}}^l + \omega_{\mathbf{k}_1}^l} - \\ &- 2 \frac{V_{\mathbf{k}_2+\mathbf{k}_3, \mathbf{k}_2, \mathbf{k}_3}^{b a_2 a_3} V_{\mathbf{k}+\mathbf{k}_1, \mathbf{k}, \mathbf{k}_1}^{* b a a_1}}{\omega_{\mathbf{k}+\mathbf{k}_1}^l - \omega_{\mathbf{k}}^l - \omega_{\mathbf{k}_1}^l} - \\ &- 2 \frac{V_{\mathbf{k}_1, \mathbf{k}_2, \mathbf{k}_1-\mathbf{k}_2}^{a_1 a_2 b} V_{\mathbf{k}_3, \mathbf{k}, \mathbf{k}_3-\mathbf{k}}^{* a_3 a_1 b}}{\omega_{\mathbf{k}_3-\mathbf{k}}^l + \omega_{\mathbf{k}}^l - \omega_{\mathbf{k}_3}^l} - \\ &- 2 \frac{V_{\mathbf{k}, \mathbf{k}_2, \mathbf{k}-\mathbf{k}_2}^{a_2 a_2 b} V_{\mathbf{k}_3, \mathbf{k}_1, \mathbf{k}_3-\mathbf{k}_1}^{* a_3 a_1 b}}{\omega_{\mathbf{k}_3-\mathbf{k}_1}^l + \omega_{\mathbf{k}_1}^l - \omega_{\mathbf{k}_3}^l} - \\ &- 2 \frac{V_{\mathbf{k}, \mathbf{k}_3, \mathbf{k}-\mathbf{k}_3}^{a_3 a_2 b} V_{\mathbf{k}_2, \mathbf{k}_1, \mathbf{k}_2-\mathbf{k}_1}^{* a_2 a_1 b}}{\omega_{\mathbf{k}_2-\mathbf{k}_1}^l + \omega_{\mathbf{k}_1}^l - \omega_{\mathbf{k}_2}^l} - \\ &- 2 \frac{V_{\mathbf{k}_1, \mathbf{k}_3, \mathbf{k}_1-\mathbf{k}_3}^{a_1 a_3 b} V_{\mathbf{k}_2, \mathbf{k}, \mathbf{k}_2-\mathbf{k}}^{* a_2 a_1 b}}{\omega_{\mathbf{k}_2-\mathbf{k}}^l + \omega_{\mathbf{k}}^l - \omega_{\mathbf{k}_2}^l}. \end{aligned} \quad (2.13)$$

Найденная эффективная амплитуда имеет простую диаграммную интерпретацию, которая представлена на рис. 1. Черный квадрат обозначает эффективную амплитуду $\widetilde{T}_{\mathbf{k}, \mathbf{k}_1, \mathbf{k}_2, \mathbf{k}_3}^{a a_1 a_2 a_3}$. Первый член справа на рис. 1 определяется прямое взаимодействие четырех плазмонов, порождаемое обычной четырехплазмонной амплитудой $T_{\mathbf{k}, \mathbf{k}_1, \mathbf{k}_2, \mathbf{k}_3}^{a a_1 a_2 a_3}$. Остальные члены

связаны с взаимодействием трех плазмонов, порождаемым амплитудами $U_{\mathbf{k}, \mathbf{k}_2, \mathbf{k}_3}^{a a_1 a_1}$ и $V_{\mathbf{k}, \mathbf{k}_2, \mathbf{k}_3}^{a a_1 a_1}$ с промежуточными «виртуальными» колебаниями. Условие малости амплитуд в нашем случае означает

$$|\widetilde{T}^{(4)}||c|^2 \ll \mathbf{k} \cdot \frac{\partial \omega_{\mathbf{k}}^l}{\partial \mathbf{k}}. \quad (2.14)$$

Таким образом, существуют два эквивалентных описания гамильтоновой системы бесцветных плазмонов для одних и тех же физических процессов. В первом мы можем использовать исходный оператор Гамильтона

$$\widehat{H} = \widehat{H}_0 + \widehat{H}_3 + \widehat{H}_4 + \dots, \quad (2.15)$$

где $\widehat{H}_0, \widehat{H}_3$ и \widehat{H}_4 задаются выражениями (2.4), (2.6) и (2.7) соответственно, а во втором — оператор Гамильтона $\widetilde{\widehat{H}}$, полученный в результате нелинейного преобразования бозонных операторов рождения и уничтожения, $\hat{a}_{\mathbf{k}}^{\dagger a}$ и $\hat{a}_{\mathbf{k}}^a$:

$$\widetilde{\widehat{H}} = \widetilde{\widehat{H}}_0 + \widetilde{\widehat{H}}_4 + \dots, \quad (2.16)$$

где, в свою очередь,

$$\widetilde{\widehat{H}}_0 = \int \frac{d\mathbf{k}}{(2\pi)^3} \omega_{\mathbf{k}}^l \hat{c}_{\mathbf{k}}^{\dagger a} \hat{c}_{\mathbf{k}}^a,$$

а оператор $\widetilde{\widehat{H}}_4$ определен выражением (2.12). Уравнения Гейзенберга для операторов $\hat{a}_{\mathbf{k}}^a$ и $\hat{c}_{\mathbf{k}}^a$ имеют полностью идентичную форму (2.3) с соответствующими операторами Гамильтона (2.15) и (2.16).

В связи с данным построением необходимо упомянуть близкую к теме нашего исследования работу Манько и др. [19], в которой было введено новое важное понятие нелинейных f -осцилляторов. Авторы рассматривали задачу о квантовании гармонического осциллятора, где бозонные операторы рождения и уничтожения преобразовывались нелинейным образом в новые операторы рождения и уничтожения, определяющие квантовые f -осцилляторы. Тем самым был получен новый оператор Гамильтона с весьма нетривиальной структурой, описывающей ту же самую динамику, что и исходный, как это имеет место и в нашем случае.

Однако несмотря на близкое сходство подходов, представленных в нашей работе и в статье [19], следует отметить их принципиальное различие. В представленном в данном разделе подходе операторы рождения и уничтожения $(\hat{a}_{\mathbf{k}}^{\dagger a}, \hat{a}_{\mathbf{k}}^a)$ и $(\hat{c}_{\mathbf{k}}^{\dagger a}, \hat{c}_{\mathbf{k}}^a)$ и соответствующие гамильтонианы (2.15) и (2.16) связаны между собой каноническим преобразованием с сохранением стандартного вида коммутационных соотношений (2.2). В подходе работы [19] нелинейные преобразования являются неканоническими,

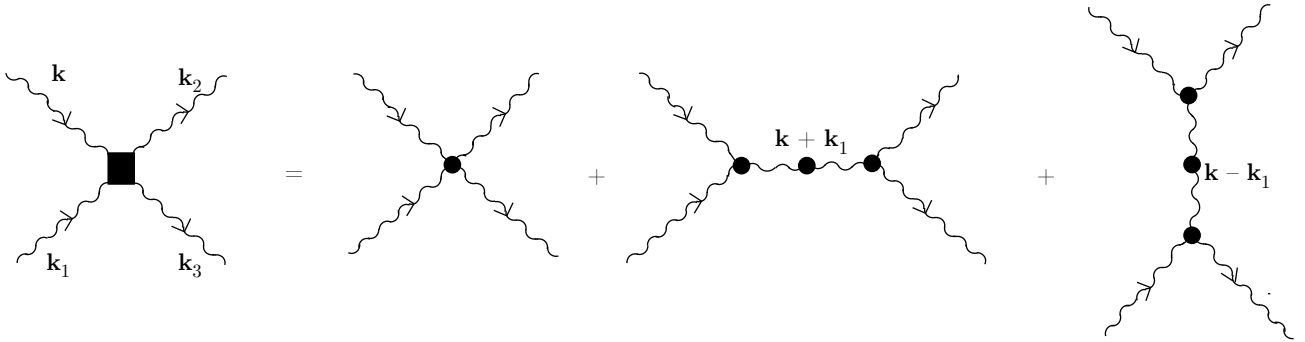


Рис. 1. Матричный элемент для четырехплазмонного распада. Волновые линии обозначают плазмоны

и поэтому для сохранения идентичности описываемой динамики авторы соответствующим образом модифицировали коммутационные соотношения типа (2.2). По этой причине в нашем случае нелинейные колебания, связанные с бозонными операторами, невозможно просто интерпретировать как колебания со специфической зависимостью частоты колебаний от энергии, как это имеет место для нелинейных f -осцилляторов, хотя отчасти данный факт может иметь место.

3. КОРРЕЛЯЦИОННАЯ ФУНКЦИЯ ЧЕТВЕРТОГО ПОРЯДКА

Гамильтониан (2.12) описывает процесс упругого рассеяния цветных плазмонов друг на друге, т. е. процесс $2 \rightarrow 2$. Уравнения движения для $\hat{c}_{\mathbf{k}}^a$ и $\hat{c}_{\mathbf{k}}^{\dagger b}$ здесь определяются соответствующими уравнениями Гейзенберга:

$$\frac{\partial \hat{c}_{\mathbf{k}}^a}{\partial t} = i \left[\tilde{\hat{H}}_0 + \tilde{\hat{H}}_4, \hat{c}_{\mathbf{k}}^a \right] = -i\omega_{\mathbf{k}}^l \hat{c}_{\mathbf{k}}^a - i \int \frac{d\mathbf{k}_1 d\mathbf{k}_2 d\mathbf{k}_3}{(2\pi)^9} \tilde{T}_{\mathbf{k}, \mathbf{k}_1, \mathbf{k}_2, \mathbf{k}_3}^{a a_1 a_2 a_3} \hat{c}_{\mathbf{k}_1}^{\dagger a_1} \hat{c}_{\mathbf{k}_2}^{a_2} \hat{c}_{\mathbf{k}_3}^{a_3} \times (2\pi)^3 \delta(\mathbf{k} + \mathbf{k}_1 - \mathbf{k}_2 - \mathbf{k}_3), \quad (3.1)$$

$$\frac{\partial \hat{c}_{\mathbf{k}}^{\dagger a}}{\partial t} = i \left[\tilde{\hat{H}}_0 + \tilde{\hat{H}}_4, \hat{c}_{\mathbf{k}}^{\dagger a} \right] = i\omega_{\mathbf{k}}^l \hat{c}_{\mathbf{k}}^{\dagger a} + i \int \frac{d\mathbf{k}_1 d\mathbf{k}_2 d\mathbf{k}_3}{(2\pi)^9} \tilde{T}_{\mathbf{k}, \mathbf{k}_1, \mathbf{k}_2, \mathbf{k}_3}^{* a a_1 a_2 a_3} \hat{c}_{\mathbf{k}_1}^{a_1} \hat{c}_{\mathbf{k}_2}^{\dagger a_2} \hat{c}_{\mathbf{k}_3}^{\dagger a_3} \times (2\pi)^3 \delta(\mathbf{k} + \mathbf{k}_1 - \mathbf{k}_2 - \mathbf{k}_3). \quad (3.2)$$

Данные точные уравнения, в отсутствие внешнего цветного поля в системе, позволят определить кинетическое уравнение для плотности числа бесцветных плазмонов $N_{\mathbf{k}}^{ab} \equiv \delta^{ab} N_{\mathbf{k}}^l$.

Если совокупность волн при малом уровне нелинейности (2.14) имеет случайные фазы, то эту совокупность можно описывать статистически, вводя корреляционную функцию:

$$\langle \hat{c}_{\mathbf{k}}^{\dagger a} \hat{c}_{\mathbf{k}'}^b \rangle = \delta^{ab} (2\pi)^3 \delta(\mathbf{k} - \mathbf{k}') N_{\mathbf{k}}^l. \quad (3.3)$$

Подчеркнем, что введение функции распределения $N_{\mathbf{k}}^l \equiv N^l(\mathbf{k}, \mathbf{x}, t)$ квазичастиц (плазмонов), зависящей как от импульса $\hbar\mathbf{k}$ плазона, так и от координат \mathbf{x} и времени t , имеет смысл только в том случае, когда число плазмонов медленно меняется в пространстве и времени. Это значит, что изменение функции на расстояниях порядка длины волны $\lambda = 2\pi/k$ и в течение промежутков времени порядка длины волны $T = 2\pi/\omega_{\mathbf{k}}^l$ должно быть значительно меньше самой функции $N_{\mathbf{k}}^l$.

Исходя из уравнений Гейзенberга (3.1) и (3.2), определим кинетическое уравнение для плотности числа плазмонов $N_{\mathbf{k}}^l$. Для этой цели умножим уравнения (3.1) и (3.2) соответственно на $\hat{c}_{\mathbf{k}'}^{\dagger b}$ и $\hat{c}_{\mathbf{k}}^a$:

$$\begin{aligned} \frac{\partial \hat{c}_{\mathbf{k}}^a}{\partial t} \hat{c}_{\mathbf{k}'}^{\dagger b} &= -i\omega_{\mathbf{k}}^l \hat{c}_{\mathbf{k}}^a \hat{c}_{\mathbf{k}'}^{\dagger b} - i \int \frac{d\mathbf{k}_1 d\mathbf{k}_2 d\mathbf{k}_3}{(2\pi)^9} \times \\ &\times \tilde{T}_{\mathbf{k}, \mathbf{k}_1, \mathbf{k}_2, \mathbf{k}_3}^{a a_1 a_2 a_3} \hat{c}_{\mathbf{k}}^{\dagger b} \hat{c}_{\mathbf{k}_1}^{\dagger a_1} \hat{c}_{\mathbf{k}_2}^{a_2} \hat{c}_{\mathbf{k}_3}^{a_3} (2\pi)^3 \delta(\mathbf{k} + \mathbf{k}_1 - \mathbf{k}_2 - \mathbf{k}_3), \end{aligned}$$

$$\begin{aligned} \hat{c}_{\mathbf{k}}^a \frac{\partial \hat{c}_{\mathbf{k}'}^{\dagger b}}{\partial t} &= i\omega_{\mathbf{k}}^l \hat{c}_{\mathbf{k}}^a \hat{c}_{\mathbf{k}'}^{\dagger b} + i \int \frac{d\mathbf{k}_1 d\mathbf{k}_2 d\mathbf{k}_3}{(2\pi)^9} \times \\ &\times \tilde{T}_{\mathbf{k}', \mathbf{k}_1, \mathbf{k}_2, \mathbf{k}_3}^{* b a_1 a_2 a_3} \hat{c}_{\mathbf{k}}^a \hat{c}_{\mathbf{k}_1}^{a_1} \hat{c}_{\mathbf{k}_2}^{\dagger a_2} \hat{c}_{\mathbf{k}_3}^{\dagger a_3} (2\pi)^3 \delta(\mathbf{k}' + \mathbf{k}_1 - \mathbf{k}_2 - \mathbf{k}_3). \end{aligned}$$

Складывая последние два уравнения и усредняя их, получаем

$$\delta^{ab}(2\pi)^3 \delta(\mathbf{k} - \mathbf{k}') \frac{\partial N_{\mathbf{k}}^l}{\partial t} = -i \int \frac{d\mathbf{k}_1 d\mathbf{k}_2 d\mathbf{k}_3}{(2\pi)^9} \times \\ \times \left\{ \tilde{T}_{\mathbf{k}, \mathbf{k}_1, \mathbf{k}_2, \mathbf{k}_3}^{a_1 a_2 a_3} I_{\mathbf{k}', \mathbf{k}_1, \mathbf{k}_2, \mathbf{k}_3}^{b_1 b_2 b_3} (2\pi)^3 \delta(\mathbf{k} + \mathbf{k}_1 - \mathbf{k}_2 - \mathbf{k}_3) - \right. \\ \left. - \tilde{T}_{\mathbf{k}', \mathbf{k}_1, \mathbf{k}_2, \mathbf{k}_3}^{* b_1 b_2 b_3} I_{\mathbf{k}_2, \mathbf{k}_3, \mathbf{k}, \mathbf{k}_1}^{a_1 a_2 a_3} \times \right. \\ \left. \times (2\pi)^3 \delta(\mathbf{k}' + \mathbf{k}_1 - \mathbf{k}_2 - \mathbf{k}_3) \right\}, \quad (3.4)$$

где

$$I_{\mathbf{k}, \mathbf{k}_1, \mathbf{k}_2, \mathbf{k}_3}^{a_1 a_2 a_3} = \langle \hat{c}_{\mathbf{k}}^{\dagger a} \hat{c}_{\mathbf{k}_1}^{\dagger a_1} \hat{c}_{\mathbf{k}_2}^{a_2} \hat{c}_{\mathbf{k}_3}^{a_3} \rangle$$

— четырехточечная корреляционная функция. Дифференцируя далее корреляционную функцию $I_{\mathbf{k}, \mathbf{k}_1, \mathbf{k}_2, \mathbf{k}_3}^{a_1 a_2 a_3}$ по t , с учетом (3.1) и (3.2) мы получаем уравнение, правая часть которого будет содержать корреляционные функции шестого порядка по операторам $\hat{c}_{\mathbf{k}}^{\dagger a}$ и $\hat{c}_{\mathbf{k}}^a$:

$$\frac{\partial I_{\mathbf{k}, \mathbf{k}_1, \mathbf{k}_2, \mathbf{k}_3}^{a_1 a_2 a_3}}{\partial t} = i[\omega_{\mathbf{k}}^l + \omega_{\mathbf{k}_1}^l - \omega_{\mathbf{k}_2}^l - \omega_{\mathbf{k}_3}^l] I_{\mathbf{k}, \mathbf{k}_1, \mathbf{k}_2, \mathbf{k}_3}^{a_1 a_2 a_3} + \\ + i \int \frac{d\mathbf{k}_1' d\mathbf{k}_2' d\mathbf{k}_3'}{(2\pi)^9} \tilde{T}_{\mathbf{k}, \mathbf{k}_1', \mathbf{k}_2', \mathbf{k}_3'}^{* a_1 a_2 a_3} \times \\ \times \langle \hat{c}_{\mathbf{k}_1'}^{a_1'} \hat{c}_{\mathbf{k}_2'}^{a_2'} \hat{c}_{\mathbf{k}_3'}^{a_3'} \hat{c}_{\mathbf{k}_1}^{a_1} \hat{c}_{\mathbf{k}_2}^{a_2} \hat{c}_{\mathbf{k}_3}^{a_3} \rangle (2\pi)^3 \delta(\mathbf{k} + \mathbf{k}_1' - \mathbf{k}_2' - \mathbf{k}_3') + \\ + i \int \frac{d\mathbf{k}_1' d\mathbf{k}_2' d\mathbf{k}_3'}{(2\pi)^9} \tilde{T}_{\mathbf{k}_1, \mathbf{k}_1', \mathbf{k}_2', \mathbf{k}_3'}^{* a_1 a_2 a_3} \times \\ \times \langle \hat{c}_{\mathbf{k}}^{a_1} \hat{c}_{\mathbf{k}_1'}^{a_2} \hat{c}_{\mathbf{k}_2'}^{a_3} \hat{c}_{\mathbf{k}_3}^{a_3} \rangle (2\pi)^3 \delta(\mathbf{k}_1 + \mathbf{k}_1' - \mathbf{k}_2' - \mathbf{k}_3') - \\ - i \int \frac{d\mathbf{k}_1' d\mathbf{k}_2' d\mathbf{k}_3'}{(2\pi)^9} \tilde{T}_{\mathbf{k}_2, \mathbf{k}_1', \mathbf{k}_2', \mathbf{k}_3'}^{* a_2 a_1 a_3} \times \\ \times \langle \hat{c}_{\mathbf{k}_1'}^{a_1} \hat{c}_{\mathbf{k}_2'}^{a_2} \hat{c}_{\mathbf{k}_3}^{a_3} \rangle (2\pi)^3 \delta(\mathbf{k}_2 + \mathbf{k}_1' - \mathbf{k}_2' - \mathbf{k}_3') - \\ - i \int \frac{d\mathbf{k}_1' d\mathbf{k}_2' d\mathbf{k}_3'}{(2\pi)^9} \tilde{T}_{\mathbf{k}_3, \mathbf{k}_1', \mathbf{k}_2', \mathbf{k}_3'}^{* a_3 a_1 a_2} \times \\ \times \langle \hat{c}_{\mathbf{k}}^{a_1} \hat{c}_{\mathbf{k}_1'}^{a_2} \hat{c}_{\mathbf{k}_2'}^{a_3} \hat{c}_{\mathbf{k}_3}^{a_3} \rangle \times \\ \times (2\pi)^3 \delta(\mathbf{k}_3 + \mathbf{k}_1' - \mathbf{k}_2' - \mathbf{k}_3'). \quad (3.5)$$

Замкнем цепочку уравнений для корреляционных функций тем, что выражения для корреляционных функций шестого порядка выразим в терминах парных корреляционных функций. Так, например, первая корреляционная функция в правой части (3.5) имеет следующую структуру:

$$\langle \hat{c}_{\mathbf{k}_1'}^{a_1'} \hat{c}_{\mathbf{k}_2'}^{a_2'} \hat{c}_{\mathbf{k}_3'}^{a_3'} \hat{c}_{\mathbf{k}_1}^{a_1} \hat{c}_{\mathbf{k}_2}^{a_2} \hat{c}_{\mathbf{k}_3}^{a_3} \rangle = 3(2\pi)^9 \left\{ \delta^{a_3 a_1'} \delta^{a_2 a_2'} \delta^{a_1 a_1'} \times \right. \\ \times \delta(\mathbf{k}_3' - \mathbf{k}_3) \delta(\mathbf{k}_2' - \mathbf{k}_2) \delta(\mathbf{k}_1' - \mathbf{k}_1) N_{\mathbf{k}_3}^l N_{\mathbf{k}_2}^l N_{\mathbf{k}_1}^l + \\ + \delta^{a_3 a_3'} \delta^{a_1 a_2} \delta^{a_2 a_1'} \times \\ \times \delta(\mathbf{k}_3' - \mathbf{k}_3) \delta(\mathbf{k}_1 - \mathbf{k}_2) \delta(\mathbf{k}_2' - \mathbf{k}_1') N_{\mathbf{k}_3}^l N_{\mathbf{k}_1}^l N_{\mathbf{k}_2}^l + \\ + \delta^{a_3 a_1'} \delta^{a_1 a_3} \delta^{a_2 a_2'} \times \\ \times \delta(\mathbf{k}_3' - \mathbf{k}_1') \delta(\mathbf{k}_1 - \mathbf{k}_3) \delta(\mathbf{k}_2' - \mathbf{k}_3) N_{\mathbf{k}_1}^l N_{\mathbf{k}_1}^l N_{\mathbf{k}_3}^l + \\ + \delta^{a_3 a_2} \delta^{a_1 a_3} \delta^{a_2 a_1'} \times \\ \times \delta(\mathbf{k}_3' - \mathbf{k}_2) \delta(\mathbf{k}_1' - \mathbf{k}_1) \delta(\mathbf{k}_2' - \mathbf{k}_3) N_{\mathbf{k}_2}^l N_{\mathbf{k}_1}^l N_{\mathbf{k}_3}^l \left. \right\}. \quad (3.6)$$

В данном выражении только первый и последний члены дают необходимый вклад в искомое кинетическое уравнение. Подставляем эти члены в первый интеграл в правой части (3.5) и выполняем суммирование по цветным индексам a'_1, a'_2, a'_3 и интегрирование по импульсам $\mathbf{k}_1', \mathbf{k}_2', \mathbf{k}_3'$. В итоге получаем

$$3i \left\{ \tilde{T}_{\mathbf{k}, \mathbf{k}_1, \mathbf{k}_2, \mathbf{k}_3}^{* a_1 a_2 a_3} N_{\mathbf{k}_1}^l N_{\mathbf{k}_2}^l N_{\mathbf{k}_3}^l + \right. \\ \left. + \tilde{T}_{\mathbf{k}, \mathbf{k}_1, \mathbf{k}_2, \mathbf{k}_3}^{* a_1 a_2 a_3} N_{\mathbf{k}_1}^l N_{\mathbf{k}_2}^l N_{\mathbf{k}_3}^l \right\} (2\pi)^3 \delta(\mathbf{k} + \mathbf{k}_1 - \mathbf{k}_2 - \mathbf{k}_3) = \\ = 6i \tilde{T}_{\mathbf{k}, \mathbf{k}_1, \mathbf{k}_2, \mathbf{k}_3}^{* a_1 a_2 a_3} N_{\mathbf{k}_1}^l N_{\mathbf{k}_2}^l N_{\mathbf{k}_3}^l \times \\ \times (2\pi)^3 \delta(\mathbf{k} + \mathbf{k}_1 - \mathbf{k}_2 - \mathbf{k}_3). \quad (3.7)$$

Для примера приведем явный вид вклада, который генерирует второй член в разбиении корреляционной функции (3.6):

$$N_{\mathbf{k}}^l N_{\mathbf{k}_1}^l \delta(\mathbf{k}_2 - \mathbf{k}_1) \delta(\mathbf{k}_3 - \mathbf{k}) \delta^{a_1 a_2} i \int \tilde{T}_{\mathbf{k}, \mathbf{k}', \mathbf{k}_1', \mathbf{k}_2'}^{* a_1 a_2 a_3} N_{\mathbf{k}'}^l d\mathbf{k}'.$$

Сравнивая два последних выражения, видим, что они имеют совершенно разную структуру.

Смотрим далее вторую шеститочечную корреляционную функцию в (3.5). В данном корреляторе выписываем в явном виде только «правильные» члены:

$$\langle \hat{c}_{\mathbf{k}}^{\dagger a} \hat{c}_{\mathbf{k}_1'}^{a_1'} \hat{c}_{\mathbf{k}_2'}^{a_2'} \hat{c}_{\mathbf{k}_3'}^{a_3'} \hat{c}_{\mathbf{k}_2}^{a_2} \hat{c}_{\mathbf{k}_3}^{a_3} \rangle = \\ = 3(2\pi)^9 \left\{ \delta^{a_1 a_1'} \delta^{a_2 a_2'} \delta^{a_3 a_3'} \delta(\mathbf{k}_1' - \mathbf{k}) \delta(\mathbf{k}_2' - \mathbf{k}_2) \times \right. \\ \times \delta(\mathbf{k}_3' - \mathbf{k}_3) N_{\mathbf{k}}^l N_{\mathbf{k}_2}^l N_{\mathbf{k}_3}^l + (2 \rightleftharpoons 3) + \dots \left. \right\}.$$

Подставляя данное выражение во второй интеграл в (3.5), получаем выражение, аналогичное выражению (3.7):

$$6i\tilde{T}_{\mathbf{k}_1, \mathbf{k}_2, \mathbf{k}_3}^{*a_1 a_2 a_3} N_{\mathbf{k}}^l N_{\mathbf{k}_2}^l N_{\mathbf{k}_3}^l (2\pi)^3 \delta(\mathbf{k} + \mathbf{k}_1 - \mathbf{k}_2 - \mathbf{k}_3).$$

Аналогичные рассуждения для третьего и четвертого корреляторов в (3.5) дают нам два оставшихся вклада соответственно

$$-6i\tilde{T}_{\mathbf{k}_2, \mathbf{k}_3, \mathbf{k}, \mathbf{k}_1}^{a_2 a_3 a_1} N_{\mathbf{k}}^l N_{\mathbf{k}_1}^l N_{\mathbf{k}_3}^l (2\pi)^3 \delta(\mathbf{k} + \mathbf{k}_1 - \mathbf{k}_2 - \mathbf{k}_3)$$

и

$$-6i\tilde{T}_{\mathbf{k}_3, \mathbf{k}_2, \mathbf{k}, \mathbf{k}_1}^{a_3 a_2 a_1} N_{\mathbf{k}}^l N_{\mathbf{k}_1}^l N_{\mathbf{k}_2}^l (2\pi)^3 \delta(\mathbf{k} + \mathbf{k}_1 - \mathbf{k}_2 - \mathbf{k}_3).$$

Учитывая соотношения симметрии для амплитуды рассеяния

$$\tilde{T}_{\mathbf{k}_2, \mathbf{k}_3, \mathbf{k}, \mathbf{k}_1}^{a_2 a_3 a_1} = \tilde{T}_{\mathbf{k}, \mathbf{k}_1, \mathbf{k}_2, \mathbf{k}_3}^{*a_1 a_2 a_3},$$

$$\tilde{T}_{\mathbf{k}_3, \mathbf{k}_2, \mathbf{k}, \mathbf{k}_1}^{a_3 a_2 a_1} = \tilde{T}_{\mathbf{k}, \mathbf{k}_1, \mathbf{k}_2, \mathbf{k}_3}^{*a_1 a_2 a_3},$$

находим уравнение для корреляционной функции четвертого порядка, вместо (3.5):

$$\begin{aligned} \frac{\partial I_{\mathbf{k}, \mathbf{k}_1, \mathbf{k}_2, \mathbf{k}_3}^{a_1 a_2 a_3}}{\partial t} &= i[\omega_{\mathbf{k}}^l + \omega_{\mathbf{k}_1}^l - \omega_{\mathbf{k}_2}^l - \omega_{\mathbf{k}_3}^l] I_{\mathbf{k}, \mathbf{k}_1, \mathbf{k}_2, \mathbf{k}_3}^{a_1 a_2 a_3} + \\ &+ 6i\tilde{T}_{\mathbf{k}, \mathbf{k}_1, \mathbf{k}_2, \mathbf{k}_3}^{*a_1 a_2 a_3} \left(N_{\mathbf{k}}^l N_{\mathbf{k}_2}^l N_{\mathbf{k}_3}^l + N_{\mathbf{k}_1}^l N_{\mathbf{k}_2}^l N_{\mathbf{k}_3}^l - \right. \\ &\quad \left. - N_{\mathbf{k}}^l N_{\mathbf{k}_1}^l N_{\mathbf{k}_3}^l - N_{\mathbf{k}}^l N_{\mathbf{k}_1}^l N_{\mathbf{k}_2}^l \right) \times \\ &\quad \times (2\pi)^3 \delta(\mathbf{k} + \mathbf{k}_1 - \mathbf{k}_2 - \mathbf{k}_3). \end{aligned} \quad (3.8)$$

4. КИНЕТИЧЕСКОЕ УРАВНЕНИЕ ДЛЯ ГЛЮОННЫХ ВОЗБУЖДЕНИЙ

Перейдем теперь к непосредственному выводу кинетического уравнения для плазмонов. В принципе, самосогласованная система двух уравнений (3.4) и (3.8) определяет эволюцию плотности числа плазмонов $N_{\mathbf{k}}^l$. Однако мы сделаем еще одно упрощение: в уравнении (3.8) пренебрежем членом с производной по времени в сравнении с членом, содержащим разность собственных частот волновых пакетов. Вместо (3.8) тогда будем иметь

$$\begin{aligned} I_{\mathbf{k}, \mathbf{k}_1, \mathbf{k}_2, \mathbf{k}_3}^{a_1 a_2 a_3} &\simeq N_{\mathbf{k}}^l N_{\mathbf{k}_1}^l (2\pi)^6 \left[\delta^{a_1 a_2} \delta^{a_3 a_3} \delta(\mathbf{k} - \mathbf{k}_2) \times \right. \\ &\quad \times \delta(\mathbf{k}_1 - \mathbf{k}_3) + \delta^{a_1 a_3} \delta^{a_2 a_2} \delta(\mathbf{k} - \mathbf{k}_3) \delta(\mathbf{k}_1 - \mathbf{k}_2) \Big] - \\ &- \frac{6}{\Delta\omega + i0} \tilde{T}_{\mathbf{k}, \mathbf{k}_1, \mathbf{k}_2, \mathbf{k}_3}^{*a_1 a_2 a_3} \left(N_{\mathbf{k}}^l N_{\mathbf{k}_2}^l N_{\mathbf{k}_3}^l + N_{\mathbf{k}_1}^l N_{\mathbf{k}_2}^l N_{\mathbf{k}_3}^l - \right. \\ &\quad \left. - N_{\mathbf{k}}^l N_{\mathbf{k}_1}^l N_{\mathbf{k}_3}^l - N_{\mathbf{k}}^l N_{\mathbf{k}_1}^l N_{\mathbf{k}_2}^l \right) (2\pi)^3 \delta(\mathbf{k} + \mathbf{k}_1 - \mathbf{k}_2 - \mathbf{k}_3), \end{aligned}$$

где

$$\Delta\omega \equiv \omega_{\mathbf{k}}^l + \omega_{\mathbf{k}_1}^l - \omega_{\mathbf{k}_2}^l - \omega_{\mathbf{k}_3}^l.$$

Здесь первый член в правой части, соответствующий полностью некоррелированным волнам (чисто гауссовым флуктуациям), является решением однородного уравнения для корреляционной функции четвертого порядка $I_{\mathbf{k}, \mathbf{k}_1, \mathbf{k}_2, \mathbf{k}_3}^{a_1 a_2 a_3}$. Второй член определяет отклонение четырехточечного коррелятора от гауссова приближения для малого уровня нелинейности взаимодействующих волн.

Подставим первый член в правую часть уравнения для $N_{\mathbf{k}}^l$ (3.4):

$$\begin{aligned} &-i(2\pi)^3 N_{\mathbf{k}}^l \int \frac{d\mathbf{k}_1}{(2\pi)^3} N_{\mathbf{k}_1}^l \left\{ \tilde{T}_{\mathbf{k}, \mathbf{k}_1, \mathbf{k}_2, \mathbf{k}_3}^{a_1 a_2 a_3} \delta(\mathbf{k} - \mathbf{k}') + \right. \\ &\quad + \tilde{T}_{\mathbf{k}, \mathbf{k}_1, \mathbf{k}_2, \mathbf{k}_3}^{a_1 a_2 a_3} \delta(\mathbf{k} - \mathbf{k}') - \\ &\quad \left. - \tilde{T}_{\mathbf{k}', \mathbf{k}_1, \mathbf{k}_2, \mathbf{k}_3}^{a_1 a_2 a_3} \delta(\mathbf{k}' - \mathbf{k}) - \tilde{T}_{\mathbf{k}', \mathbf{k}_1, \mathbf{k}_2, \mathbf{k}_3}^{a_1 a_2 a_3} \delta(\mathbf{k}' - \mathbf{k}) \right\} = \\ &= -i2(2\pi)^3 \delta(\mathbf{k} - \mathbf{k}') N_{\mathbf{k}}^l \int \frac{d\mathbf{k}_1}{(2\pi)^3} N_{\mathbf{k}_1}^l \times \\ &\quad \times \left\{ \tilde{T}_{\mathbf{k}, \mathbf{k}_1, \mathbf{k}_2, \mathbf{k}_3}^{a_1 a_2 a_3} - \tilde{T}_{\mathbf{k}', \mathbf{k}_1, \mathbf{k}_2, \mathbf{k}_3}^{a_1 a_2 a_3} \right\}. \end{aligned} \quad (4.1)$$

Подставим далее второй член в правую часть уравнения (3.4):

$$\begin{aligned} &-6i \int \frac{d\mathbf{k}_1 d\mathbf{k}_2 d\mathbf{k}_3}{(2\pi)^9} \left\{ \tilde{T}_{\mathbf{k}, \mathbf{k}_1, \mathbf{k}_2, \mathbf{k}_3}^{a_1 a_2 a_3} \left(\frac{1}{\Delta\omega + i0} \right) \times \right. \\ &\quad \times \tilde{T}_{\mathbf{k}', \mathbf{k}_1, \mathbf{k}_2, \mathbf{k}_3}^{a_1 a_2 a_3} (2\pi)^3 \delta(\mathbf{k}' + \mathbf{k}_1 - \mathbf{k}_2 - \mathbf{k}_3) \times \\ &\quad \times (2\pi)^3 \delta(\mathbf{k} + \mathbf{k}_1 - \mathbf{k}_2 - \mathbf{k}_3) \left[N_{\mathbf{k}}^l N_{\mathbf{k}_2}^l N_{\mathbf{k}_3}^l + \dots \right] - \\ &\quad - \tilde{T}_{\mathbf{k}_2, \mathbf{k}_3, \mathbf{k}', \mathbf{k}_1}^{a_2 a_3 b a_1} \left(\frac{1}{\Delta\omega - i0} \right) \tilde{T}_{\mathbf{k}_2, \mathbf{k}_3, \mathbf{k}, \mathbf{k}_1}^{*a_2 a_3 a a_1} \times \\ &\quad \times (2\pi)^3 \delta(\mathbf{k} + \mathbf{k}_1 - \mathbf{k}_2 - \mathbf{k}_3) (2\pi)^3 \delta(\mathbf{k}' + \mathbf{k}_1 - \mathbf{k}_2 - \mathbf{k}_3) \times \\ &\quad \left. \times \left[N_{\mathbf{k}}^l N_{\mathbf{k}_2}^l N_{\mathbf{k}_3}^l + \dots \right] \right]. \end{aligned}$$

Принимая во внимание, что

$$\begin{aligned} \delta(\mathbf{k}' + \mathbf{k}_1 - \mathbf{k}_2 - \mathbf{k}_3) \delta(\mathbf{k} + \mathbf{k}_1 - \mathbf{k}_2 - \mathbf{k}_3) &= \\ &= \delta(\mathbf{k} - \mathbf{k}') \delta(\mathbf{k} + \mathbf{k}_1 - \mathbf{k}_2 - \mathbf{k}_3), \end{aligned}$$

последнее выражение можно записать в более компактной форме:

$$\begin{aligned} &-6i(2\pi)^3 \delta(\mathbf{k} - \mathbf{k}') \int \frac{d\mathbf{k}_1 d\mathbf{k}_2 d\mathbf{k}_3}{(2\pi)^9} \times \\ &\quad \times (2\pi)^3 \delta(\mathbf{k} + \mathbf{k}_1 - \mathbf{k}_2 - \mathbf{k}_3) \left[N_{\mathbf{k}}^l N_{\mathbf{k}_2}^l N_{\mathbf{k}_3}^l + \dots \right] \times \\ &\quad \times \left\{ \frac{\tilde{T}_{\mathbf{k}, \mathbf{k}_1, \mathbf{k}_2, \mathbf{k}_3}^{a_1 a_2 a_3} \tilde{T}_{\mathbf{k}', \mathbf{k}_1, \mathbf{k}_2, \mathbf{k}_3}^{a_1 a_2 a_3}}{\Delta\omega + i0} - \right. \\ &\quad \left. - \frac{\tilde{T}_{\mathbf{k}_2, \mathbf{k}_3, \mathbf{k}', \mathbf{k}_1}^{a_2 a_3 b a_1} \tilde{T}_{\mathbf{k}_2, \mathbf{k}_3, \mathbf{k}, \mathbf{k}_1}^{*a_2 a_3 a a_1}}{\Delta\omega - i0} \right\}. \end{aligned} \quad (4.2)$$

Свертывая далее полученные выражения (3.4), (4.1) и (4.2) с δ^{ab} , учитывая, что

$$\frac{1}{\Delta\omega + i0} - \frac{1}{\Delta\omega - i0} = -2i\pi\delta(\Delta\omega),$$

и сокращая на множитель $(2\pi)^3\delta(\mathbf{k} - \mathbf{k}')$, находим искомое кинетическое уравнение для бесцветных продольных глюонных возбуждений:

$$\begin{aligned} \frac{dN_{\mathbf{k}}^l}{dt} &= \frac{4}{d_A} N_{\mathbf{k}}^l \int \frac{d\mathbf{k}_1}{(2\pi)^3} N_{\mathbf{k}_1}^l \text{Im} \left[\tilde{T}_{\mathbf{k}, \mathbf{k}_1, \mathbf{k}, \mathbf{k}_1}^{a a_1 a_2 a_3} \right] + \\ &+ \frac{6}{d_A} \int \frac{d\mathbf{k}_1 d\mathbf{k}_2 d\mathbf{k}_3}{(2\pi)^9} (2\pi)^4 \delta(\omega_{\mathbf{k}}^l + \omega_{\mathbf{k}_1}^l - \omega_{\mathbf{k}_2}^l - \omega_{\mathbf{k}_3}^l) \times \\ &\times \delta(\mathbf{k} + \mathbf{k}_1 - \mathbf{k}_2 - \mathbf{k}_3) \tilde{T}_{\mathbf{k}, \mathbf{k}_1, \mathbf{k}_2, \mathbf{k}_3}^{a a_1 a_2 a_3} \tilde{T}_{\mathbf{k}, \mathbf{k}_1, \mathbf{k}_2, \mathbf{k}_3}^{*a a_1 a_2 a_3} \times \\ &\times \left(N_{\mathbf{k}}^l N_{\mathbf{k}_2}^l N_{\mathbf{k}_3}^l + N_{\mathbf{k}_1}^l N_{\mathbf{k}_2}^l N_{\mathbf{k}_3}^l - N_{\mathbf{k}}^l N_{\mathbf{k}_1}^l N_{\mathbf{k}_3}^l - \right. \\ &\left. - N_{\mathbf{k}}^l N_{\mathbf{k}_1}^l N_{\mathbf{k}_2}^l \right). \quad (4.3) \end{aligned}$$

Здесь $d_A = N_c^2 - 1$. Первое слагаемое в правой части (4.3) описывает процесс нелинейного затухания Ландау [20], декремент которого представляет собой линейный функционал плотности числа плазмонов $N_{\mathbf{k}}^l$:

$$\hat{\gamma}\{N_{\mathbf{k}}^l\} \equiv \gamma^l(\mathbf{k}) = \frac{4}{d_A} \int \frac{d\mathbf{k}_1}{(2\pi)^3} N_{\mathbf{k}_1}^l \text{Im} \left[\tilde{T}_{\mathbf{k}, \mathbf{k}_1, \mathbf{k}, \mathbf{k}_1}^{a a_1 a_2 a_3} \right].$$

Второе слагаемое в (4.3) связано с процессом упругого плазмон-плазмонного рассеяния. Уравнение (4.3) можно представить также в более наглядном виде:

$$\begin{aligned} \frac{dN_{\mathbf{k}}^l}{dt} &\equiv \frac{\partial N_{\mathbf{k}}^l}{\partial t} + \mathbf{v}_{\mathbf{k}}^l \cdot \frac{\partial N_{\mathbf{k}}^l}{\partial \mathbf{x}} = \\ &= -\hat{\gamma}\{N_{\mathbf{k}}^l\} N_{\mathbf{k}}^l - N_{\mathbf{k}}^l \Gamma_d[N_{\mathbf{k}}^l] + (1+N_{\mathbf{k}}^l) \Gamma_i[N_{\mathbf{k}}^l], \quad (4.4) \end{aligned}$$

где

$$\mathbf{v}_{\mathbf{k}}^l = \frac{\partial \omega_{\mathbf{k}}^l}{\partial \mathbf{k}} = - \left[\left(\frac{\partial \text{Re} \varepsilon^l(k)}{\partial \mathbf{k}} \right) \left(\frac{\partial \text{Re} \varepsilon^l(k)}{\partial \omega} \right)^{-1} \right]_{\omega=\omega_{\mathbf{k}}^l}$$

— групповая скорость продольных колебаний, а обобщенная скорость распада Γ_d и обратная скорость регенерации Γ_i представляют собой нелинейные функционалы плотности числа плазмонов:

$$\Gamma_d[N_{\mathbf{k}}^l] = \int d\mathcal{T}^{(3)} w_4(\mathbf{k}, \mathbf{k}_1; \mathbf{k}_2, \mathbf{k}_3) N_{\mathbf{k}_1}^l (1+N_{\mathbf{k}_2}^l) (1+N_{\mathbf{k}_3}^l)$$

и соответственно

$$\Gamma_i[N_{\mathbf{k}}^l] = \int d\mathcal{T}^{(3)} w_4(\mathbf{k}, \mathbf{k}_1; \mathbf{k}_2, \mathbf{k}_3) (1+N_{\mathbf{k}_1}^l) N_{\mathbf{k}_2}^l N_{\mathbf{k}_3}^l.$$

Здесь

$$\begin{aligned} w_4(\mathbf{k}, \mathbf{k}_1; \mathbf{k}_2, \mathbf{k}_3) &= \\ &= \frac{6}{d_A} \tilde{T}_{\mathbf{k}, \mathbf{k}_1, \mathbf{k}_2, \mathbf{k}_3}^{a a_1 a_2 a_3} \tilde{T}_{\mathbf{k}, \mathbf{k}_1, \mathbf{k}_2, \mathbf{k}_3}^{*a a_1 a_2 a_3} \quad (4.5) \end{aligned}$$

— вероятность рассеяния для процесса упругого столкновения двух бесцветных плазмонов, а мера интегрирования определена как

$$\begin{aligned} d\mathcal{T}^{(3)} &\equiv (2\pi)^4 \delta(\omega_{\mathbf{k}}^l + \omega_{\mathbf{k}_1}^l - \omega_{\mathbf{k}_2}^l - \omega_{\mathbf{k}_3}^l) \times \\ &\times \delta(\mathbf{k} + \mathbf{k}_1 - \mathbf{k}_2 - \mathbf{k}_3) \frac{d\mathbf{k}_1 d\mathbf{k}_2 d\mathbf{k}_3}{(2\pi)^9}. \end{aligned}$$

В пределе больших чисел заполнения плазмонных состояний, $N_{\mathbf{k}}^l \gg 1$, правая часть уравнения Больцмана (4.4) переходит в (4.3).

5. ЯВНЫЙ ВИД ФУНКЦИИ $T_{\mathbf{k}, \mathbf{k}_1, \mathbf{k}_2, \mathbf{k}_3}^{a a_1 a_2 a_3}$

Нам осталось определить явный вид вершинных функций $T_{\mathbf{k}, \mathbf{k}_1, \mathbf{k}_2, \mathbf{k}_3}^{a a_1 a_2 a_3}$, $U_{\mathbf{k}, \mathbf{k}_1, \mathbf{k}_2}^{a a_1 a_2}$ и $V_{\mathbf{k}, \mathbf{k}_1, \mathbf{k}_2}^{a a_1 a_2}$, которые входят в эффективную амплитуду (2.13). В данном разделе мы определим вид функции $T_{\mathbf{k}, \mathbf{k}_1, \mathbf{k}_2, \mathbf{k}_3}^{a a_1 a_2 a_3}$ в приближении так называемых жестких температурных петель (HTL) [8]. В работе [11], в рамках HTL-приближения была вычислена вероятность упругого рассеяния двух плазмонов

$$\begin{aligned} w_4(\mathbf{k}, \mathbf{k}_1; \mathbf{k}_2, \mathbf{k}_3) &= 3M^{aa_1 a_2 a_3}(\mathbf{k}, \mathbf{k}_1, -\mathbf{k}_2, -\mathbf{k}_3) \times \\ &\times M^{*aa_1 a_2 a_3}(\mathbf{k}, \mathbf{k}_1, -\mathbf{k}_2, -\mathbf{k}_3). \quad (5.1) \end{aligned}$$

Здесь матричный элемент четырехплазмонного распада имеет следующую структуру:

$$\begin{aligned} M^{aa_1 a_2 a_3}(\mathbf{k}, \mathbf{k}_1, -\mathbf{k}_2, -\mathbf{k}_3) &= g^2 \left(\frac{Z_l(\mathbf{k})}{2\omega_{\mathbf{k}}^l} \right)^{1/2} \times \\ &\times \left(\frac{\tilde{u}^{\mu}(k)}{\sqrt{\tilde{u}^2(k)}} \right) \prod_{i=1}^3 \left(\frac{Z_l(\mathbf{k}_i)}{2\omega_{\mathbf{k}_i}^l} \right)^{1/2} \left(\frac{\tilde{u}^{\mu_i}(k_i)}{\sqrt{\tilde{u}^2(k_i)}} \right) \times \\ &\times {}^*\tilde{\Gamma}_{\mu\mu_1\mu_2\mu_3}^{aa_1 a_2 a_3}(k, k_1, -k_2, -k_3) \Big|_{on-shell}, \quad (5.2) \end{aligned}$$

и, в свою очередь, эффективная амплитуда ${}^*\tilde{\Gamma}_{\mu\mu_1\mu_2\mu_3}^{aa_1 a_2 a_3}(k, k_1, -k_2, -k_3)$ определяется выражением

$$\begin{aligned} {}^*\tilde{\Gamma}_{\mu\mu_1\mu_2\mu_3}^{aa_1 a_2 a_3}(k, k_1, -k_2, -k_3) &= -f^{aa_1 b} f^{ba_2 a_3} \times \\ &\times {}^*\tilde{\Gamma}_{\mu\mu_1\mu_2\mu_3}(k, k_1, -k_2, -k_3) - \\ &- f^{aa_2 b} f^{ba_1 a_3} {}^*\tilde{\Gamma}_{\mu\mu_2\mu_1\mu_3}(k, -k_2, k_1, -k_3), \quad (5.3) \end{aligned}$$

где f^{abc} — антисимметричные структурные константы цветовой алгебры Ли $\text{su}(N_c)$. Цветные факторы

в последнем выражении умножаются на чисто кинематические коэффициенты — эффективные субамплитуды, определяемые следующим образом:

$$\begin{aligned} {}^*\tilde{\Gamma}_{\mu\mu_1\mu_2\mu_3}(k, k_1, -k_2, -k_3) &\equiv \\ &\equiv {}^*\Gamma_{\mu\mu_1\mu_2\mu_3}(k, k_1, -k_2, -k_3) - \\ &- {}^*\Gamma_{\mu\mu_1\nu}(k, k_1, -k - k_1) {}^*\tilde{\mathcal{D}}^{\nu\nu'}(k_2 + k_3) \times \\ &\quad \times {}^*\Gamma_{\nu'\mu_2\mu_3}(k_2 + k_3, -k_2, -k_3) - \\ &- {}^*\Gamma_{\mu\mu_3\nu}(k, -k_3, -k + k_3) {}^*\tilde{\mathcal{D}}^{\nu\nu'}(k_2 - k_1) \times \\ &\quad \times {}^*\Gamma_{\nu'\mu_2\mu_1}(k_2 - k_1, -k_2, k_1). \end{aligned} \quad (5.4)$$

В Приложении приведен вид вершинных функций ${}^*\Gamma_{\mu\mu_1\mu_2\mu_3}(k, k_1, k_2, k_3)$ и ${}^*\Gamma_{\mu\mu_1\mu_2}(k, k_1, k_2)$, (A.1)–(A.7), а также глюонного пропагатора ${}^*\tilde{\mathcal{D}}^{\nu\mu}(k)$ в приближении жестких температурных петель, (A.8)–(A.10). Два 4-вектора

$$\begin{aligned} \tilde{u}_\mu(k) &= \frac{k^2}{(k \cdot u)} (k_\mu - u_\mu(k \cdot u)) \quad \text{и} \\ \bar{u}_\mu(k) &= k^2 u_\mu - k_\mu(k \cdot u) \end{aligned} \quad (5.5)$$

представляют собой проекторы на продольное направление волнового вектора \mathbf{k} , записанные в лоренц-инвариантной форме в гамильтоновой и лоренцевой калибровках соответственно. Здесь u^μ — 4-скорость среды, которая в системе покоя равна $u^\mu = (1, 0, 0, 0)$. Наконец, 4-векторы вида

$$\left(\frac{Z_l(\mathbf{k})}{2\omega_{\mathbf{k}}^l} \right)^{1/2} \frac{\tilde{u}_\mu(k)}{\sqrt{\bar{u}^2(k)}} \Big|_{on-shell} \equiv \frac{1}{\sqrt{2\omega_{\mathbf{k}}^l}} \epsilon_\mu^l(\mathbf{k}) \quad (5.6)$$

в правой части (5.2) представляют собой обычные волновые функции продольного физического глюона в A_0 -калибровке, где фактор $\sqrt{Z_l(\mathbf{k})}$ обеспечивает ренормировку глюонной волновой функции за счет температурных эффектов. Множитель 3 в правой части (5.1) учитывает три возможных канала четырехплазмонного распада, которые меняют плотность числа плазмонов:

$$g^* + g_1^* \rightleftharpoons g_2^* + g_3^*, \quad g^* + g_2^* \rightleftharpoons g_1^* + g_3^*,$$

$$g^* + g_3^* \rightleftharpoons g_1^* + g_2^*.$$

Сравнивая два выражения для вероятности плазмон-плазмонного рассеяния (4.5) и (5.1), видим, что эффективную амплитуду $\tilde{T}_{\mathbf{k}, \mathbf{k}_1, \mathbf{k}_2, \mathbf{k}_3}^{a a_1 a_2 a_3}$, определяемую выражением (2.13), с точностью до числового множителя следует отождествить с матричным элементом $M^{aa_1 a_2 a_3}(\mathbf{k}, \mathbf{k}_1, -\mathbf{k}_2, -\mathbf{k}_3)$,

вычисленным в рамках высокотемпературной квантовой теории поля, т. е.

$$\begin{aligned} \tilde{T}_{\mathbf{k}, \mathbf{k}_1, \mathbf{k}_2, \mathbf{k}_3}^{a a_1 a_2 a_3} &= \\ &= \left(\frac{d_A}{2} \right)^{1/2} M^{a a_1 a_2 a_3}(\mathbf{k}, \mathbf{k}_1, -\mathbf{k}_2, -\mathbf{k}_3). \end{aligned} \quad (5.7)$$

Из выражений для эффективных амплитуд (2.13) и (5.2), (5.3) мы можем сразу получить явный вид амплитуды $T_{\mathbf{k}, \mathbf{k}_1, \mathbf{k}_2, \mathbf{k}_3}^{a a_1 a_2 a_3}$, которая входит в качестве коэффициентной функции в определение оператора Гамильтона четвертого порядка \hat{H}_4 (2.7):

$$\begin{aligned} T_{\mathbf{k}, \mathbf{k}_1, \mathbf{k}_2, \mathbf{k}_3}^{a a_1 a_2 a_3} &= - \left(\frac{d_A}{2} \right)^{1/2} g^2 \left(\frac{\epsilon_\mu^l(\mathbf{k})}{\sqrt{2\omega_{\mathbf{k}}^l}} \right) \times \\ &\times \prod_{i=1}^3 \left(\frac{\epsilon_{\mu_i}^l(\mathbf{k}_i)}{\sqrt{2\omega_{\mathbf{k}_i}^l}} \right) \left[f^{aa_1 b} f^{ba_2 a_3} \times \right. \\ &\times \left. {}^*\Gamma_{\mu\mu_1\mu_2\mu_3}(k, k_1, -k_2, -k_3) + f^{aa_2 b} f^{ba_1 a_3} \times \right. \\ &\left. \times {}^*\Gamma_{\mu\mu_2\mu_1\mu_3}(k, -k_2, k_1, -k_3) \right] \Big|_{on-shell}. \end{aligned} \quad (5.8)$$

Здесь мы приняли во внимание связь продольного проектора с вектором поляризации, (5.6). Явный вид эффективной четырехглюонной вершины ${}^*\Gamma^{\mu\nu\lambda\sigma}(k, k_1, k_2, k_3)$ в правой части последнего выражения определяется формулами (A.5)–(A.7).

6. ЯВНЫЙ ВИД ФУНКЦИЙ $U_{\mathbf{k}, \mathbf{k}_1, \mathbf{k}_2}^{a a_1 a_2}$ И $V_{\mathbf{k}, \mathbf{k}_1, \mathbf{k}_2}^{a a_1 a_2}$

Перейдем теперь к определению явного вида коэффициентных функций $U_{\mathbf{k}, \mathbf{k}_1, \mathbf{k}_2}^{a a_1 a_2}$ и $V_{\mathbf{k}, \mathbf{k}_1, \mathbf{k}_2}^{a a_1 a_2}$ в подынтегральных выражениях оператора Гамильтона третьего порядка \hat{H}_3 (2.6). Однако в отличие от предыдущего случая, здесь мы имеем более сложную ситуацию. С учетом (2.13) и (5.2)–(5.4) из (5.7) следует исходное для анализа выражение

$$\begin{aligned}
& \frac{U_{-(\mathbf{k}_2+\mathbf{k}_3), \mathbf{k}_2, \mathbf{k}_3}^{b a_2 a_3} U_{-(\mathbf{k}+\mathbf{k}_1), \mathbf{k}, \mathbf{k}_1}^{* b a a_1}}{\omega_{-(\mathbf{k}+\mathbf{k}_1)}^l + \omega_{\mathbf{k}}^l + \omega_{\mathbf{k}_1}^l} + \\
& + \frac{V_{\mathbf{k}_2+\mathbf{k}_3, \mathbf{k}_2, \mathbf{k}_3}^{b a_2 a_3} V_{\mathbf{k}+\mathbf{k}_1, \mathbf{k}, \mathbf{k}_1}^{* b a a_1}}{\omega_{\mathbf{k}+\mathbf{k}_1}^l - \omega_{\mathbf{k}}^l - \omega_{\mathbf{k}_1}^l} + \\
& + \frac{V_{\mathbf{k}_1, \mathbf{k}_2, \mathbf{k}_1-\mathbf{k}_2}^{a_1 a_2 b} V_{\mathbf{k}_3, \mathbf{k}, \mathbf{k}_3-\mathbf{k}}^{* a_3 a b}}{\omega_{\mathbf{k}_3-\mathbf{k}}^l + \omega_{\mathbf{k}}^l - \omega_{\mathbf{k}_3}^l} + \\
& + \frac{V_{\mathbf{k}, \mathbf{k}_2, \mathbf{k}-\mathbf{k}_2}^{a a_2 b} V_{\mathbf{k}_3, \mathbf{k}_1, \mathbf{k}_3-\mathbf{k}_1}^{* a_3 a_1 b}}{\omega_{\mathbf{k}_3-\mathbf{k}_1}^l + \omega_{\mathbf{k}_1}^l - \omega_{\mathbf{k}_3}^l} + \\
& + \frac{V_{\mathbf{k}, \mathbf{k}_3, \mathbf{k}-\mathbf{k}_3}^{a a_3 b} V_{\mathbf{k}_2, \mathbf{k}_1, \mathbf{k}_2-\mathbf{k}_1}^{* a_2 a_1 b}}{\omega_{\mathbf{k}_2-\mathbf{k}_1}^l + \omega_{\mathbf{k}_1}^l - \omega_{\mathbf{k}_2}^l} + \\
& + \frac{V_{\mathbf{k}_1, \mathbf{k}_3, \mathbf{k}_1-\mathbf{k}_3}^{a_1 a_3 b} V_{\mathbf{k}_2, \mathbf{k}, \mathbf{k}_2-\mathbf{k}}^{* a_2 a b}}{\omega_{\mathbf{k}_2-\mathbf{k}}^l + \omega_{\mathbf{k}}^l - \omega_{\mathbf{k}_2}^l} = \\
& = \frac{1}{2} \left(\frac{d_A}{2} \right)^{1/2} g^2 \left(\frac{\epsilon_{\mu}^l(k)}{\sqrt{2\omega_{\mathbf{k}}^l}} \right) \prod_{i=1}^3 \left(\frac{\epsilon_{\mu_i}^l(k_i)}{\sqrt{2\omega_{\mathbf{k}_i}^l}} \right) \times \\
& \times \left[f^{aa_1 b} f^{ba_2 a_3} \left({}^* \Gamma^{\mu\mu_1\nu}(k, k_1, -k-k_1) {}^* \tilde{\mathcal{D}}_{\nu\nu'}(k_2+k_3) \times \right. \right. \\
& \times {}^* \Gamma^{\nu'\mu_2\mu_3}(k_2+k_3, -k_2, -k_3) + {}^* \Gamma^{\mu\mu_3\nu}(k, -k_3, -k+k_3) \times \\
& \times {}^* \tilde{\mathcal{D}}_{\nu\nu'}(k_2-k_1) {}^* \Gamma^{\nu'\mu_2\mu_1}(k_2-k_1, -k_2, k_1) \Big) + \\
& + f^{aa_2 b} f^{ba_1 a_3} \left({}^* \Gamma^{\mu\mu_1\nu}(k, -k_2, -k+k_2) \times \right. \\
& \times {}^* \tilde{\mathcal{D}}_{\nu\nu'}(-k_1+k_3) {}^* \Gamma^{\nu'\mu_2\mu_3}(-k_1+k_3, k_1, -k_3) + \\
& + {}^* \Gamma^{\mu\mu_3\nu}(k, -k_3, -k+k_3) {}^* \tilde{\mathcal{D}}_{\nu\nu'}(-k_1+k_2) \times \\
& \times {}^* \Gamma^{\nu'\mu_2\mu_1}(-k_1+k_2, k_1, -k_2) \Big) \Big] \Big|_{on-shell}. \quad (6.1)
\end{aligned}$$

Первым шагом нам необходимо «распутать» цветовую структуру данного выражения. Для этой цели полагаем для трехточечных амплитуд U и V :

$$U_{\mathbf{k}, \mathbf{k}_1, \mathbf{k}_2}^{a a_1 a_2} = f^{aa_1 a_2} U_{\mathbf{k}, \mathbf{k}_1, \mathbf{k}_2},$$

$$V_{\mathbf{k}, \mathbf{k}_1, \mathbf{k}_2}^{a a_1 a_2} = f^{aa_1 a_2} V_{\mathbf{k}, \mathbf{k}_1, \mathbf{k}_2}.$$

Такое представление является однозначным. В силу полной антисимметричности структурных констант $f^{a a_1 a_2}$ по перестановке цветных индексов, из свойств (2.8) немедленно следует

$$\begin{aligned}
V_{\mathbf{k}, \mathbf{k}_1, \mathbf{k}_2} &= -V_{\mathbf{k}, \mathbf{k}_2, \mathbf{k}_1}, \\
U_{\mathbf{k}, \mathbf{k}_1, \mathbf{k}_2} &= -U_{\mathbf{k}, \mathbf{k}_2, \mathbf{k}_1} = U_{\mathbf{k}_1, \mathbf{k}_2, \mathbf{k}}.
\end{aligned} \quad (6.2)$$

Далее, используя тождество для антисимметричных структурных констант

$$f^{a_1 a_2 b} f^{b a_3 a} = -f^{a a_2 b} f^{b a_1 a_3} + f^{aa_1 b} f^{ba_2 a_3},$$

левую часть (6.1) можно привести к следующему виду:

$$\begin{aligned}
& f^{aa_1 b} f^{ba_2 a_3} \left[\frac{U_{-(\mathbf{k}_2+\mathbf{k}_3), \mathbf{k}_2, \mathbf{k}_3}^{* b a a_1}}{\omega_{-(\mathbf{k}+\mathbf{k}_1)}^l + \omega_{\mathbf{k}}^l + \omega_{\mathbf{k}_1}^l} + \right. \\
& + \frac{V_{\mathbf{k}_2+\mathbf{k}_3, \mathbf{k}_2, \mathbf{k}_3}^{* b a a_1}}{\omega_{\mathbf{k}+\mathbf{k}_1}^l - \omega_{\mathbf{k}}^l - \omega_{\mathbf{k}_1}^l} + \\
& + \frac{V_{\mathbf{k}_1, \mathbf{k}_2, \mathbf{k}_1-\mathbf{k}_2}^{* a_3 a b}}{\omega_{\mathbf{k}_3-\mathbf{k}}^l + \omega_{\mathbf{k}}^l - \omega_{\mathbf{k}_3}^l} + \\
& + \frac{V_{\mathbf{k}_1, \mathbf{k}_2, \mathbf{k}_1-\mathbf{k}_2}^{* a_3 a b}}{\omega_{\mathbf{k}_3-\mathbf{k}}^l + \omega_{\mathbf{k}}^l - \omega_{\mathbf{k}_3}^l} + \\
& \left. + \frac{V_{\mathbf{k}_1, \mathbf{k}_2, \mathbf{k}_1-\mathbf{k}_2}^{* a_3 a b}}{\omega_{\mathbf{k}_2-\mathbf{k}_1}^l + \omega_{\mathbf{k}_1}^l - \omega_{\mathbf{k}_2}^l} \right] - \\
& - f^{aa_2 b} f^{ba_1 a_3} \left[\frac{V_{\mathbf{k}_1, \mathbf{k}_2, \mathbf{k}_1-\mathbf{k}_2}^{* a_3 a b}}{\omega_{\mathbf{k}_3-\mathbf{k}}^l + \omega_{\mathbf{k}}^l - \omega_{\mathbf{k}_3}^l} + \right. \\
& + \frac{V_{\mathbf{k}_1, \mathbf{k}_2, \mathbf{k}_1-\mathbf{k}_2}^{* a_3 a b}}{\omega_{\mathbf{k}_3-\mathbf{k}_1}^l + \omega_{\mathbf{k}_1}^l - \omega_{\mathbf{k}_3}^l} + \\
& + \frac{V_{\mathbf{k}_1, \mathbf{k}_2, \mathbf{k}_1-\mathbf{k}_2}^{* a_3 a b}}{\omega_{\mathbf{k}_2-\mathbf{k}_1}^l + \omega_{\mathbf{k}_1}^l - \omega_{\mathbf{k}_2}^l} + \\
& \left. + \frac{V_{\mathbf{k}_1, \mathbf{k}_2, \mathbf{k}_1-\mathbf{k}_2}^{* a_3 a b}}{\omega_{\mathbf{k}_2-\mathbf{k}}^l + \omega_{\mathbf{k}}^l - \omega_{\mathbf{k}_2}^l} \right].
\end{aligned}$$

Сравнивая коэффициенты после произведений антисимметричных структурных констант $f^{a a_1 b} f^{b a_2 a_3}$ и $f^{a a_2 b} f^{b a_1 a_3}$ полученного выше выражения и правой части (6.1), находим

$$\begin{aligned}
& \frac{U_{-(\mathbf{k}_2+\mathbf{k}_3), \mathbf{k}_2, \mathbf{k}_3}^{* b a a_1}}{\omega_{-(\mathbf{k}+\mathbf{k}_1)}^l + \omega_{\mathbf{k}}^l + \omega_{\mathbf{k}_1}^l} + \\
& + \frac{V_{\mathbf{k}_2+\mathbf{k}_3, \mathbf{k}_2, \mathbf{k}_3}^{* b a a_1}}{\omega_{\mathbf{k}+\mathbf{k}_1}^l - \omega_{\mathbf{k}}^l - \omega_{\mathbf{k}_1}^l} + \\
& + \frac{V_{\mathbf{k}_1, \mathbf{k}_2, \mathbf{k}_1-\mathbf{k}_2}^{* a_3 a b}}{\omega_{-(\mathbf{k}_2-\mathbf{k}_1)}^l + \omega_{\mathbf{k}_2}^l - \omega_{\mathbf{k}_1}^l} + \\
& + \frac{V_{\mathbf{k}_1, \mathbf{k}_2, \mathbf{k}_1-\mathbf{k}_2}^{* a_3 a b}}{\omega_{\mathbf{k}_2-\mathbf{k}_1}^l + \omega_{\mathbf{k}_1}^l - \omega_{\mathbf{k}_2}^l} = \\
& = \frac{1}{2} \left(\frac{d_A}{2} \right)^{1/2} g^2 \left(\frac{\epsilon_{\mu}^l(\mathbf{k})}{\sqrt{2\omega_{\mathbf{k}}^l}} \right) \prod_{i=1}^3 \left(\frac{\epsilon_{\mu_i}^l(\mathbf{k}_i)}{\sqrt{2\omega_{\mathbf{k}_i}^l}} \right) \times \\
& \times \left[{}^* \Gamma^{\mu\mu_1\nu}(k, k_1, -k-k_1) {}^* \tilde{\mathcal{D}}_{\nu\nu'}(k+k_1) \times \right. \\
& \times {}^* \Gamma^{\nu'\mu_2\mu_3}(k_2+k_3, -k_2, -k_3) + \\
& + {}^* \Gamma^{\mu\mu_3\nu}(k, -k_3, -k+k_3) {}^* \tilde{\mathcal{D}}_{\nu\nu'}(k_2-k_1) \times \\
& \times {}^* \Gamma^{\nu'\mu_2\mu_1}(k_2-k_1, -k_2, k_1) \Big] \Big|_{on-shell}
\end{aligned}$$

плюс аналогичное соотношение для второй коэффициентной функции. Наконец, из структуры данного выражения ясно, что здесь мы фактически имеем два независимых соотношения: первое

$$\begin{aligned}
& \frac{U_{-(\mathbf{k}_2+\mathbf{k}_3), \mathbf{k}_2, \mathbf{k}_3} U^*_{-(\mathbf{k}+\mathbf{k}_1), \mathbf{k}, \mathbf{k}_1}}{\omega_{\mathbf{k}+\mathbf{k}_1}^l + \omega_{\mathbf{k}}^l + \omega_{\mathbf{k}_1}^l} + \\
& + \frac{V_{\mathbf{k}_2+\mathbf{k}_3, \mathbf{k}_2, \mathbf{k}_3} V^*_{\mathbf{k}+\mathbf{k}_1, \mathbf{k}, \mathbf{k}_1}}{\omega_{\mathbf{k}+\mathbf{k}_1}^l - \omega_{\mathbf{k}}^l - \omega_{\mathbf{k}_1}^l} = \\
& = \frac{1}{2} \left(\frac{d_A}{2} \right)^{1/2} g^2 \left(\frac{\epsilon_\mu^l(\mathbf{k})}{\sqrt{2\omega_{\mathbf{k}}^l}} \right) \prod_{i=1}^3 \left(\frac{\epsilon_{\mu_i}^l(\mathbf{k}_i)}{\sqrt{2\omega_{\mathbf{k}_i}^l}} \right) \times \\
& \times \left[{}^*\Gamma^{\mu\mu_1\nu}(k, k_1, -k - k_1) {}^*\tilde{D}_{\nu\nu'}(k + k_1) \times \right. \\
& \left. \times {}^*\Gamma^{\nu'\mu_2\mu_3}(k_2 + k_3, -k_2, -k_3) \right] \Big|_{on-shell} \quad (6.3)
\end{aligned}$$

и второе

$$\begin{aligned}
& \frac{V_{\mathbf{k}_1, \mathbf{k}_2, \mathbf{k}_1-\mathbf{k}_2} V^*_{\mathbf{k}_3, \mathbf{k}, \mathbf{k}_3-\mathbf{k}}}{\omega_{\mathbf{k}_2-\mathbf{k}_1}^l + \omega_{\mathbf{k}_2}^l - \omega_{\mathbf{k}_1}^l} + \\
& + \frac{V_{\mathbf{k}, \mathbf{k}_3, \mathbf{k}-\mathbf{k}_3} V^*_{\mathbf{k}_2, \mathbf{k}_1, \mathbf{k}_2-\mathbf{k}_1}}{\omega_{\mathbf{k}_2-\mathbf{k}_1}^l + \omega_{\mathbf{k}_1}^l - \omega_{\mathbf{k}_2}^l} = \\
& = \frac{1}{2} \left(\frac{d_A}{2} \right)^{1/2} g^2 \left(\frac{\epsilon_\mu^l(\mathbf{k})}{\sqrt{2\omega_{\mathbf{k}}^l}} \right) \prod_{i=1}^3 \left(\frac{\epsilon_{\mu_i}^l(\mathbf{k}_i)}{\sqrt{2\omega_{\mathbf{k}_i}^l}} \right) \times \\
& \times \left[{}^*\Gamma^{\mu\mu_3\nu}(k, -k_3, -k + k_3) {}^*\tilde{D}_{\nu\nu'}(k_2 - k_1) \times \right. \\
& \left. \times {}^*\Gamma^{\nu'\mu_2\mu_1}(k_2 - k_1, -k_2, k_1) \right] \Big|_{on-shell}. \quad (6.4)
\end{aligned}$$

В левых частях (6.3) и (6.4) мы учли четность дисперсионного соотношения, т. е. $\omega_{-\mathbf{k}}^l = \omega_{\mathbf{k}}^l$.

Далее, вторым шагом в эффективных глюонных пропагаторах ${}^*\tilde{D}_{\nu\nu'}$ в правых частях (6.3) и (6.4) мы оставляем только члены с продольным проектором $\tilde{Q}_{\nu\nu'}$. Так, для первого пропагатора ${}^*\tilde{D}_{\nu\nu'}(k + k_1)$ делаем замену

$${}^*\tilde{D}_{\nu\nu'}(k + k_1) \Rightarrow -\tilde{Q}_{\nu\nu'}(k + k_1) {}^*\Delta^l(k + k_1),$$

где правая часть, с учетом (A.10) и (A.9), в явном виде задается выражением

$$-\frac{\tilde{u}_\nu(k+k_1) \tilde{u}_{\nu'}(k+k_1)}{\tilde{u}^2(k+k_1)} \frac{1}{(k+k_1)^2 - \Pi^l(k+k_1)}, \quad (6.5)$$

и аналогично для второго пропагатора ${}^*\tilde{D}_{\nu\nu'}(k_2 - k_1)$. Вблизи полюса $\omega \sim \omega_{\mathbf{k}}^l$ продольный скалярный пропагатор ${}^*\Delta^l(k) = {}^*\Delta^l(\omega, \mathbf{k})$ ведет себя как (см., например, [21])

$$\begin{aligned}
{}^*\Delta^l(\omega, \mathbf{k}) &= \frac{1}{\omega^2 - \mathbf{k}^2 - \Pi^l(\omega, \mathbf{k})} \simeq \frac{Z_l(\mathbf{k})}{\omega^2 - (\omega_{\mathbf{k}}^l)^2} = \\
&= \frac{Z_l(\mathbf{k})}{2\omega_{\mathbf{k}}^l} \left[\frac{1}{\omega - \omega_{\mathbf{k}}^l} - \frac{1}{\omega + \omega_{\mathbf{k}}^l} \right].
\end{aligned}$$

Используя данное приближение, получаем, в частности, для первого пропагатора

$$\begin{aligned}
{}^*\Delta^l(k + k_1) &\simeq -\frac{Z_l(\mathbf{k} + \mathbf{k}_1)}{2\omega_{\mathbf{k}+\mathbf{k}_1}^l} \times \\
&\times \left[\frac{1}{\omega_{\mathbf{k}+\mathbf{k}_1}^l - \omega_{\mathbf{k}}^l - \omega_{\mathbf{k}_1}^l} + \frac{1}{\omega_{\mathbf{k}+\mathbf{k}_1}^l + \omega_{\mathbf{k}}^l + \omega_{\mathbf{k}_1}^l} \right] \quad (6.6)
\end{aligned}$$

и для второго

$$\begin{aligned}
{}^*\Delta^l(k_2 - k_1) &\simeq -\frac{Z_l(\mathbf{k}_2 - \mathbf{k}_1)}{2\omega_{\mathbf{k}_2-\mathbf{k}_1}^l} \times \\
&\times \left[\frac{1}{\omega_{\mathbf{k}_2-\mathbf{k}_1}^l + \omega_{\mathbf{k}_2}^l - \omega_{\mathbf{k}_1}^l} + \frac{1}{\omega_{\mathbf{k}_2-\mathbf{k}_1}^l + \omega_{\mathbf{k}_1}^l - \omega_{\mathbf{k}_2}^l} \right]. \quad (6.7)
\end{aligned}$$

Принимая во внимание приведенные выше выражения (6.3)–(6.7), мы можем выписать искомый вид трехплазменных вершинных функций:

$$\begin{aligned}
V_{\mathbf{k}, \mathbf{k}_1, \mathbf{k}_2} &= g \left(\frac{d_A}{8} \right)^{1/4} \frac{\epsilon_\mu^l(\mathbf{k})}{\sqrt{2\omega_{\mathbf{k}}^l}} \frac{\epsilon_{\mu_1}^l(\mathbf{k}_1)}{\sqrt{2\omega_{\mathbf{k}_1}^l}} \frac{\epsilon_{\mu_2}^l(\mathbf{k}_2)}{\sqrt{2\omega_{\mathbf{k}_2}^l}} \times \\
&\times {}^*\Gamma^{\mu\mu_1\mu_2}(k, -k_1, -k_2) \Big|_{on-shell} \quad (6.8)
\end{aligned}$$

и

$$\begin{aligned}
U_{\mathbf{k}, \mathbf{k}_1, \mathbf{k}_2} &= g \left(\frac{d_A}{8} \right)^{1/4} \frac{\epsilon_\mu^l(\mathbf{k})}{\sqrt{2\omega_{\mathbf{k}}^l}} \frac{\epsilon_{\mu_1}^l(\mathbf{k}_1)}{\sqrt{2\omega_{\mathbf{k}_1}^l}} \frac{\epsilon_{\mu_2}^l(\mathbf{k}_2)}{\sqrt{2\omega_{\mathbf{k}_2}^l}} \times \\
&\times {}^*\Gamma^{\mu\mu_1\mu_2}(-k, -k_1, -k_2) \Big|_{on-shell}. \quad (6.9)
\end{aligned}$$

Отметим, что вершинные функции (6.8) и (6.9) описывают существенно различные процессы. Возьмем для примера процесс, который описывается вторым графиком на рис. 1 (*s*-канал). Фактически он включает в себя два подпроцесса рассеяния. Первый из них в рамках рассматриваемого приближения можно описать следующим образом (рис. 2): два плазмона с частотами $\omega_{\mathbf{k}}^l$ и $\omega_{\mathbf{k}_1}^l$ и волновыми векторами \mathbf{k} и \mathbf{k}_1 сливаются в вершине 1 в один плазмон с частотой $\omega_{\mathbf{k}+\mathbf{k}_1}^l$ и волновым вектором $\mathbf{k} + \mathbf{k}_1$, который затем в вершине 2 распадается в два плазмона с частотами $\omega_{\mathbf{k}_2}^l$ и $\omega_{\mathbf{k}_3}^l$ и волновыми векторами \mathbf{k}_2 и \mathbf{k}_3 (рис. 2a). Функция $1/(\omega_{\mathbf{k}+\mathbf{k}_1}^l - \omega_{\mathbf{k}}^l - \omega_{\mathbf{k}_1}^l)$ играет в классическом гамильтоновом описании роль пропагатора промежуточного «виртуального» состояния коллективных продольных возбуждений, а взаимодействие в вершинах 1 и 2 здесь задается функцией $V_{\mathbf{k}, \mathbf{k}_1, \mathbf{k}_2}$ (6.8).

Второй подпроцесс определяется таким образом (рис. 2б): в вершине 2 происходит трехплазменный распад — два плазмона с частотами $\omega_{\mathbf{k}_2}^l$ и $\omega_{\mathbf{k}_3}^l$, и волновыми векторами \mathbf{k}_2 и \mathbf{k}_3 уходят в систему, а третий плазмон с частотой $\omega_{\mathbf{k}+\mathbf{k}_1}^l$ и волновым вектором

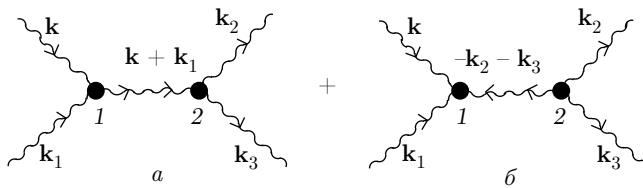


Рис. 2. Подпроцессы четырехплазмонного упругого рассеяния, определяемые процессами трехплазменных распадов и слияний в *s*-канале

$\mathbf{k}_2 + \mathbf{k}_3$ в вершине 1 сливается с двумя плазмонами с частотами $\omega_{\mathbf{k}}^l$ и $\omega_{\mathbf{k}_1}^l$ и волновыми векторами \mathbf{k} и \mathbf{k}_1 , которые приходят из системы. Роль пропагатора здесь играет функция $1/(\omega_{\mathbf{k}+\mathbf{k}_1}^l + \omega_{\mathbf{k}}^l + \omega_{\mathbf{k}_1}^l)$. Взаимодействие в вершинах 1 и 2 определяется функцией $U_{\mathbf{k}, \mathbf{k}_1, \mathbf{k}_2}$ (6.9).

7. ЗАКЛЮЧЕНИЕ

В данной работе сделан первый шаг к построению классического гамильтонова формализма для описания процессов нелинейного взаимодействия мягких глюонных возбуждений в высокотемпературной теории поля Янга – Миллса. Построено в явной форме каноническое преобразование (2.10), позволяющее исключить гамильтониан взаимодействия третьего порядка \hat{H}_3 (2.6) и тем самым определить новый эффективный гамильтониан взаимодействия \tilde{H}_4 (2.12), с калибровочно-ковариантной амплитудой рассеяния $\tilde{T}_{\mathbf{k}, \mathbf{k}_1, \mathbf{k}_2, \mathbf{k}_3}^{a_1 a_2 a_3}$. Данный гамильтониан взаимодействия определяет конкретный физический процесс — упругое рассеяние двух бесцветных плазмонов друг на друге. Данный процесс рассеяния будет доминирующим, когда значение амплитуды калибровочного поля имеет порядок [11]

$$|A_\mu(x)| \sim \sqrt{g}T \text{ и, соответственно, } N_{\mathbf{k}}^l \sim \frac{1}{g},$$

фактически отвечающий уровню тепловых флуктуаций в горячей глюонной плазме. Для данного значения амплитуды калибровочного поля при $g \ll 1$ плотность числа плазмонов $N_{\mathbf{k}}^l$ является большой, и использование чисто классического описания оправдано. Более того, здесь справедливо использование линеаризованного уравнения Больцмана, вместо точного (2.12), для бесцветных плазмонов, так как распределение Планка, относительно которого измеряется отклонение плотности числа плазмонов $\delta N_{\mathbf{k}}^l$, имеет порядок

$$N_{eq}^l(\mathbf{k}) \sim \frac{T}{\omega_{\mathbf{k}}^l} \sim \frac{1}{g}.$$

В этом случае можно говорить, что теория плазмон-плазмонного взаимодействия для малых амплитуд мягких возбуждений является линейной, а нелинейные эффекты, связанные с неравновесными флукутациями плотности числа плазмонов $\delta N_{\mathbf{k}}^l$, могут трактоваться как возмущения.

Ситуация качественно меняется, когда система сильно возбуждена, что может иметь место в столкновениях ультратректистических тяжелых ионов в экспериментах на Большом адронном коллайдере. При увеличении интенсивности возбуждений в глюонной плазме необходимо учитывать дальнейшие члены в разложении \hat{H}_{int} . Так как процессы нелинейного взаимодействия с участием нечетного числа плазмонов запрещены, то мы можем, в принципе, определяя подходящим образом канонические преобразования, избавиться от всех «нечетных» гамильтонианов взаимодействия \hat{H}_{2n+1} , $n = 1, 2, \dots$ В предельном случае сильных возбуждений, когда

$$|A_\mu(x)| \sim T \text{ и, соответственно, } N_{\mathbf{k}}^l \sim \frac{1}{g^2},$$

данные канонические преобразования будут содержать бесконечное число членов произвольной степени по операторам рождения $\hat{c}_{\mathbf{k}}^{\dagger a}$ и уничтожения $\hat{c}_{\mathbf{k}}^a$. Это, в свою очередь, приведет к необходимости учета в правой части кинетического уравнения (4.4) всех высших процессов упругого рассеяния плазмонов: $3 \rightarrow 3, 4 \rightarrow 4, \dots$, так как все они одного порядка по константе взаимодействия g . Ясно, что процедура линеаризации кинетического уравнения для плотности числа плазмонов $N_{\mathbf{k}}^l$ в данном случае становится неприменимой и здесь мы приходим к истинно нелинейной теории взаимодействия мягких глюонных возбуждений в плазме с неабелевым типом взаимодействия.

Таким образом, возникает нетривиальная проблема построения явного вида канонических преобразований. Данные нелинейные канонические преобразования должны приводить исходный гамильтониан взаимодействия к новому эффективному виду:

$$\hat{H}_{int} \longrightarrow \tilde{H}_{int} = \tilde{H}_4 + \tilde{H}_6 + \dots + \tilde{H}_{2n+2} + \dots$$

Однако прямой подход в определении явного вида необходимых канонических преобразований, который был использован в данной работе, становится малоэффективным при попытке исключения уже следующего нечетного гамильтониана \hat{H}_5 ввиду чрезвычайной громоздкости вычислений. Для сильно возбужденных состояний, когда мы имеем дело с

бесконечным числом членов, необходим качественно иной, более адекватный в данной ситуации аппарат, например, введение множества нелокальных канонических переменных, зависящих от дополнительного трехмерного единичного вектора, как это было предложено в работе [22]. Другой подход заключается в использовании связи

$$A_\mu^a(k) = A_\mu^{(0)a}(k) + {}^*\tilde{\mathcal{D}}_{\mu\nu}(k)\{\tilde{J}^{(2)a\nu}(A^{(0)}, A^{(0)}) + \tilde{J}^{(3)a\nu}(A^{(0)}, A^{(0)}, A^{(0)}) + \dots\}, \quad (7.1)$$

где $A_\mu^a(k)$ и $A_\mu^{(0)a}(k)$ представляют собой взаимодействующее и свободное калибровочные поля системы, а $\tilde{J}_\mu^{(n)a}(A^{(0)}, A^{(0)}, \dots)$ — некоторые эффективные токи, являющиеся нелинейными функционалами от свободного поля и определяемые рекуррентным образом в рамках приближения жестких температурных петель [11]. Коэффициентные функции в $\tilde{J}_\mu^{(n)a}$ есть эффективные амплитуды типа (5.3). В качестве взаимодействующего поля необходимо взять выражение (2.1), а в качестве свободного поля — выражение вида

$$\hat{A}_\mu^{(0)a}(x) = \int \frac{d\mathbf{k}}{(2\pi)^3} \left(\frac{Z^l(\mathbf{k})}{2\omega_\mathbf{k}^l} \right)^{1/2} \times \\ \times \left\{ \epsilon_\mu^l \hat{c}_\mathbf{k}^a e^{-i\mathbf{k}\cdot\mathbf{x}} + \epsilon_\mu^* \hat{c}_\mathbf{k}^{\dagger a} e^{i\mathbf{k}\cdot\mathbf{x}} \right\}$$

с операторами $\hat{c}_\mathbf{k}^a$ и $\hat{c}_\mathbf{k}^{\dagger a}$, которые входят в правую часть канонических преобразований (2.10). Соотношение (7.1) фактически содержит в себе искомое каноническое преобразование с любой степенью точности, если использовать соответствующие аппроксимации для пропагаторов типа (6.6), (6.7) и вершинных функций (6.8), (6.9), (5.7) и т. п. Соотношение (7.1) позволяет дать нам совершенно новую интерпретацию канонических преобразований: преобразования (2.10) определяют переход от невзаимодействующего поля $A_\mu^{(0)a}(k)$ к взаимодействующему $A_\mu^a(k)$, которое учитывает все эффекты взаимодействия в среде. Анализ данной связи требует отдельного рассмотрения.

Финансирование. Работа Д. М. Гитмана и Ю. А. Маркова поддержана программой повышения конкурентоспособности Национального исследовательского Томского государственного университета среди ведущих мировых научно-образовательных центров. Также работа Д. М. Гитмана частично поддержана Российским фондом фундаментальных исследований (проект № 18-02-00149), Фондом исследований Сан-Паулу (FAPESP, грант 2016/03319-6) и Национальным Советом по науке (CNPq).

ПРИЛОЖЕНИЕ

Эффективные вершины и глюонный пропагатор

В данном приложении мы приводим явный вид эффективных вершинных функций и глюонного пропагатора в высокотемпературном приближении жестких температурных петель (HTL) [8, 9].

Эффективная трехглюонная вершина

$${}^*\Gamma^{\mu\nu\rho}(k, k_1, k_2) \equiv \Gamma^{\mu\nu\rho}(k, k_1, k_2) + \\ + \delta\Gamma^{\mu\nu\rho}(k, k_1, k_2) \quad (A.1)$$

представляет собой сумму голой трехглюонной вершины

$$\Gamma^{\mu\nu\rho}(k, k_1, k_2) = g^{\mu\nu}(k - k_1)^\rho + g^{\nu\rho}(k_1 - k_2)^\mu + \\ + g^{\mu\rho}(k_2 - k)^\nu \quad (A.2)$$

и соответствующей HTL-поправки

$$\delta\Gamma^{\mu\nu\rho}(k, k_1, k_2) = 3\omega_{pl}^2 \int \frac{d\Omega}{4\pi} \frac{v^\mu v^\nu v^\rho}{v \cdot k + i\epsilon} \times \\ \times \left(\frac{\omega_2}{v \cdot k_2 - i\epsilon} - \frac{\omega_1}{v \cdot k_1 - i\epsilon} \right), \quad (A.3)$$

где $v^\mu = (1, \mathbf{v})$, $k + k_1 + k_2 = 0$, $d\Omega$ — элемент телесного угла. Ниже приведены полезные свойства трехглюонной HTL-рассуммированной вершинной функции при комплексном сопряжении и перестановке импульсов:

$$({}^*\Gamma_{\mu\mu_1\mu_2}(-k_1 - k_2, k_1, k_2))^* = \\ = -{}^*\Gamma_{\mu\mu_1\mu_2}(k_1 + k_2, -k_1, -k_2) = \\ = {}^*\Gamma_{\mu\mu_1\mu_2}(k_1 + k_2, -k_2, -k_1). \quad (A.4)$$

Далее, эффективная четырехглюонная вершина

$${}^*\Gamma^{\mu\nu\lambda\sigma}(k, k_1, k_2, k_3) \equiv \Gamma^{\mu\nu\lambda\sigma}(k, k_1, k_2, k_3) + \\ + \delta\Gamma^{\mu\nu\lambda\sigma}(k, k_1, k_2, k_3) \quad (A.5)$$

есть сумма голой четырехглюонной вершины

$$\Gamma^{\mu\nu\lambda\sigma} = 2g^{\mu\nu}g^{\lambda\sigma} - g^{\mu\sigma}g^{\nu\lambda} - g^{\mu\lambda}g^{\sigma\nu} \quad (A.6)$$

и соответствующей HTL-поправки

$$\delta\Gamma^{\mu\nu\lambda\sigma}(k, k_1, k_2, k_3) = 3\omega_{pl}^2 \int \frac{d\Omega}{4\pi} \frac{v^\mu v^\nu v^\lambda v^\sigma}{v \cdot k + i\epsilon} \times \\ \times \left[\frac{1}{v \cdot (k + k_1) + i\epsilon} \left(\frac{\omega_2}{v \cdot k_2 - i\epsilon} - \frac{\omega_3}{v \cdot k_3 - i\epsilon} \right) - \right. \\ \left. - \frac{1}{v \cdot (k + k_3) + i\epsilon} \left(\frac{\omega_1}{v \cdot k_1 - i\epsilon} - \frac{\omega_2}{v \cdot k_2 - i\epsilon} \right) \right]. \quad (A.7)$$

Наконец, выражение

$$\begin{aligned} {}^*\tilde{\mathcal{D}}_{\mu\nu}(k) = & -P_{\mu\nu}(k) {}^*\Delta^t(k) - \tilde{Q}_{\mu\nu}(k) {}^*\Delta^l(k) - \\ & - \xi_0 \frac{k^2}{(k \cdot u)^2} D_{\mu\nu}(k) \end{aligned} \quad (\text{A.8})$$

представляет собой модифицированный эффектами среды глюонный (запаздывающий) пропагатор в A_0 -калибровке. Здесь «скалярные» поперечный и продольный пропагаторы имеют вид

$${}^*\Delta^t(k) = \frac{1}{k^2 - \Pi^t(k)}, \quad {}^*\Delta^l(k) = \frac{1}{k^2 - \Pi^l(k)}, \quad (\text{A.9})$$

где

$$\Pi^t(k) = \frac{1}{2} \Pi^{\mu\nu}(k) P_{\mu\nu}(k), \quad \Pi^l(k) = \Pi^{\mu\nu}(k) \tilde{Q}_{\mu\nu}(k).$$

Поляризационный тензор $\Pi_{\mu\nu}(k)$ в приближении жестких температурных петель имеет вид

$$\Pi^{\mu\nu}(k) = 3\omega_{pl}^2 \left(u^\mu u^\nu - \omega \int \frac{d\Omega}{4\pi} \frac{v^\mu v^\nu}{v \cdot k + i\epsilon} \right),$$

а продольный и поперечный проекторы определяются, соответственно, следующими выражениями:

$$\begin{aligned} \tilde{Q}_{\mu\nu}(k) &= \frac{\tilde{u}_\mu(k) \tilde{u}_\nu(k)}{\bar{u}^2(k)}, \\ P_{\mu\nu}(k) &= g_{\mu\nu} - u_\mu u_\nu - \tilde{Q}_{\mu\nu}(k) \frac{(k \cdot u)^2}{k^2}, \end{aligned} \quad (\text{A.10})$$

где, в свою очередь, лоренц-ковариантный 4-вектор $\tilde{u}_\mu(k)$ задается формулой (5.5).

ЛИТЕРАТУРА

1. Б. Б. Кадомцев, в сб. *Вопросы теории плазмы*, вып. 4, под ред. М. А. Леоновича, Атомиздат, Москва (1964), с. 188–339.
2. Л. Коврижных, ЖЭТФ **49**, 237 (1965).
3. В. Е. Захаров, ЖЭТФ **51**, 688 (1966).
4. В. А. Липеровский, В. Н. Цытович, Изв. вузов. Радиофизика **XII**, 823 (1969).
5. V. E. Zakharov, Phys. Rep. **129**, 285 (1985).
6. В. Е. Захаров, Изв. вузов. Радиофизика **XVII**, 431 (1974).
7. А. М. Балк, В. Е. Захаров, в сб. науч. тр. *Интергрируемость и кинетические уравнения для солитонов*, под ред. В. Г. Барыштара, В. Е. Захарова, В. М. Черноусенко, Наук. думка, Киев (1990), с. 417–472.
8. J.-P. Blaizot and E. Iancu, Phys. Rep. **359**, 335 (2002).
9. E. Braaten and R. D. Pisarski, Nucl. Phys. B **337**, 569 (1990).
10. J.-P. Blaizot and E. Iancu, Nucl. Phys. B **417**, 608 (1994).
11. Yu. A. Markov and M. A. Markova, Ann. Phys. **302**, 172 (2002).
12. Д. М. Гитман, И. В. Тютин, *Каноническое квантование полей со связями*, Наука, Москва (1986).
13. V. P. Nair, Phys. Rev. D **48**, 3432 (1993).
14. V. P. Nair, Phys. Rev. D **50**, 4201 (1994).
15. J.-P. Blaizot and E. Iancu, Nucl. Phys. B **434**, 662 (1995).
16. О. К. Калашников, В. В. Климов, ЯФ **31**, 1357 (1980).
17. А. С. Шварц, *Математические основы квантовой теории поля*, Атомиздат, Москва (1975).
18. Н. Н. Боголюбов, Д. В. Ширков, *Введение в теорию квантованных полей*, Наука, Москва (1976).
19. V. I. Man'ko, G. Marmo, E. C. G. Sudarshan, and F. Zaccaria, Phys. Scripta **55**, 528 (1997).
20. А. И. Ахиезер, И. А. Ахиезер, Р. В. Половин и др., *Электродинамика плазмы*, Наука, Москва (1974).
21. H. A. Weldon, Phys. Rev. D **58**, 105002 (1998).
22. D. Metaxas and V. P. Nair, Int. J. Mod. Phys. A **16**, 1249 (2001).